

# 公告本

362313

申請日期	86 年 10 月 14 日
案 號	86115068
類 別	HQB / 005

A4  
C4

362313

(以上各欄由本局填註)

## 發明專利說明書

一、發明 新型 名稱	中 文	用於盲等化之窗口技術
	英 文	A windowing technique for blind equalization
二、發明人 創作	姓 名	(1) 琴-傑奎斯·衛能 Werner, Jean-Jacques (2) 楊健 Yang, Jian
	國 籍	(1) 法國 (2) 加拿大
	住、居所	(1) 美國新澤西州○七七三三·洪德爾·洪德爾路 八五二號 852 Holmdel Road, Holmdel, NJ 07733, USA (2) 美國新澤西州·馬波羅惠特奈大道 10 號 10 Whitney Drive, Marlboro, NJ 07746, USA
三、申請人	姓 名 (名稱)	(1) 魯森工業技術股份有限公司 Lucent Technologies Inc.
	國 籍	(1) 美國
	住、居所 (事務所)	(1) 美國新澤西州莫瑞山丘莫頓路六〇〇號 600 Mountain Avenue, Murray Hill, NJ 07974 -0636, USA
代表人 姓 名	(1) 麥克·格林 Greene, Michael R.	

363813

A6

B6

承辦人代碼：
大類：
I P C 分類：

(由本局填寫)

本案已向：

國(地區) 申請專利，申請日期： 案號：  有  無 主張優先權

美國

1996 年 11 月 27 日 08/757,207

有 主張優先權

(請先閱讀背面之注意事項再填寫本頁各欄)

有關微生物已寄存於： ， 寄存日期： ， 寄存號碼：

四、中文發明摘要(發明之名稱：用於盲等化之窗口技術 )

一種盲收斂技術，侷限於使用等化器輸出取樣的子集合。明言之，接收器會執行窗口MMA法。在此窗口MMA法中，取樣窗會與代表等化器輸出取樣組之二維平面重疊。在濾波適應期間，使用有那些僅出現在取樣窗內的等化器輸出取樣。

(請先閱讀背面之注意事項再填寫本頁各欄)

裝

訂

英文發明摘要(發明之名稱： )

A Windowing Technique for Blind Equalization

**Abstract**

A blind convergence technique is restricted to using a subset of equalizer output samples. Illustratively, a receiver implements a windowed MMA approach. In this windowed MMA approach, a sample window overlays the two-dimensional plane representing the set of equalizer output samples. Only those equalizer output samples appearing within the sample window are used during filter adaptation.

修正  
補充 本件  
年 4 月 21 日

附件 1 : 第 86115068 號專利申請案  
中文說明書修正頁 民國 88 年 4 月呈

五、發明說明( )

發明背景

本發明係關於通訊設備，特別關於接收器中之盲等化

。

在盲等化中，接收器的等化器不用使用訓練訊號即可收斂。在此技術中，已知有二種盲等化技術：一者為「減化星群演繹法 (reduced constellation algorithm(RCA))」(例如，請參見 Y. Sato "A Method of Self-Recovering Equalization for Multilevel Amplitude-Modulation Systems," IEEE Trans. Commun., pp. 679-682, June 1975; 及 1980 年頒予 Godard 之美國專利號 4,227,152)，另一技術為「固定模數演繹法 (constant modulus algorithm) (CMA)」(例如，請參見 D. N. Godard 之 "Self-Recovering Equalization and Carrier Tracking in Two-dimensional Data Communication Systems," IEEE Trans. Commun., vol. 28, no. 11, pp. 1867-1875, Nov. 1980; 及 N.K. Jabbour, "Joint Blind Equalization, Carrier Recovery, and Timing Recovery for High-Order QAM Signal Constellation", IEEE Trans. Signal Processing, vol. 40, no. 6, pp. 1383-1983, 1992)。此外，1996 年五月七日申請，序號 08／646404，Werner 等之美國共同申請案 "Blind Equalization"，亦說明新的盲等化技術—多模數演繹法 (the multimodulus algorithm(MMA))，為上述 RCA 及 CMA 方法之另一選擇。

(請先閱讀背面之注意事項再填寫本頁)

裝

訂

修正  
補充 本~~88~~年4月1日

A7

B7

## 五、發明說明(2)

### 發明概述

任何盲收斂技術會被等化器之輸出訊號、或取樣之分佈影響。因此，符號位準數目增加將會增加等化器輸出取樣之分佈，進而更難以盲化地收斂等化器。因此，根據發明觀念，盲收斂技術受限於使用等化器取樣之子集。縱使符號位準增加，這仍能改進盲收斂能力。

在發明實施例中，接收器會實施窗口MMA方法。在此窗口MMA方法中，取樣窗口會與代表等化器輸出取樣之二維平面重疊。在濾波器適應期間，僅有那些出現在取樣窗口內的等化器輸出取樣會被使用。將說明窗口MMA方法之二種變化。

(請先閱讀背面之注意事項再填寫本頁)

裝

訂

系

### 詳細說明

圖1係顯示具體實施發明原理之通訊系統的一部份之高階方塊圖。僅為說明之用，假設接收器10接收可表示如下之CAP訊號（無載體、振幅調變、相位調變（carrierless, amplitude modulation, phase modulation）：

$$r(t) = \sum_n [a_n p(t - nT) - b_n \tilde{p}(t - nT)] + \xi(t) \quad (1)$$

其中  $a_n$  及  $b_n$  係離散值多準位符號， $p(t)$  及  $\tilde{p}(t)$  係形成希耳伯特（Hilbert）對之脈沖響應， $T$  係符號週期，及  $\xi(t)$  係進入頻道中的外加噪音。

假設方程式(1)中的CAP訊號於經由通訊頻道9傳播時被扭曲並遭受碼際干擾（ISI）。此ISI係由

## 五、發明說明(3)

頻道內 I S I (  $a_n$  或  $b_n$  符號相互干擾) 及頻道間 I S I (  $a_n$  及  $b_n$  符號相互干擾) 。接收器 10 的目的係移除 I S I 及使外加噪音  $\xi(t)$  的效應最少以提供訊號  $r(t)$  。將於用於接收器 10 內的窗口 MMA 等化演繹法之內文中說明發明觀念。但是，在說明發明觀念前，將說明關於適應濾波器及上述 R C A 、 C M A 、及 MMA 演繹法之某些背景資訊。而且，此處所使用之適應濾波器，例如部份間隔線性等化器，將於下簡稱為 F S L E 等化器，或等化器。

(請先閱讀背面之注意事項再填寫本頁)

### 等化器結構

圖 2 顯示相位分離 F S L E 等化器 100。假設 F S L E 等化器 100 係對包括同相分量及正交分量之二維輸入訊號作用。F S L E 等化器 100 包括作為有限脈衝響應 (F I R) 濾波器 110 及 120 之二平行的數位適應濾波器。由於二 F I R 濾波器 110 及 120 會收斂至同相位及正交濾波器，所以等化器 100 係稱為「相位分離 F S L E」。等化器結構之某些說明性細節係顯示於圖 3 中。二濾波器 110 及 120 會共同使用相同的分接延遲線 115，該分接延遲線 115 儲存連續的類比對數位轉換器 (A/D) 125 取樣  $r_k$  序列。A/D 125 的取樣速率  $1/T'$  典型上係符號速率  $1/T$  的三至四倍並以滿足用於真實訊號之取樣理論之方式被選取。假設  $T'/T = i$ ，其中  $i$  係整數。

## 五、發明說明 (4)

如圖 3 所示之二適應 F I R 濾波器 110 及 120 的輸出係被以符號速率  $1/T$  計算。等化器分接及輸入取樣可以以對應的 N 維向量表示之。因此，現在界定下述關係：

$r_n^T = [r_k, r_{k-1}, \dots, r_{k-N}]$  = 延遲線中的製造方法 D 取樣向量 (2)

$c_n^T = [c_0, c_1, c_2, \dots, c_N]$  = 同相位分接係數之向量 (3)

$d_n^T = [d_0, d_1, d_2, \dots, d_N]$  = 正交相位分接係數之向量 (4)

其中上標 T 係代表向量轉置，下表 n 係指符號週期  $nT$ ，及  $k = I_n$ 。

設  $y_n$  及  $\tilde{y}_n$  分別為被計算之同相位及正交濾波器，及：

$$y_n = c_n^T r_n \quad (5)$$

$$\tilde{y}_n = d_n^T r_n \quad (6)$$

輸出  $y_n$  及  $\tilde{y}_n$  之  $X/Y$  顯示，或相等地  $Y = y_n + j\tilde{y}_n$  之複數輸出的  $X/Y$  顯示，係稱為訊號星群。圖 6 及 17 係顯示使用 MMA 演繹法之收斂之前及後的 64-CAP 星群。「64-CAP」一詞係指訊號空間或訊號星群中預定符號之數目，每一符號代表 6 位元，而  $2^6 = 64$ 。有關 CAP 通訊系統之其它資訊可參見 J. J. Werner

(請先閱讀背面之注意事項再填寫本頁)

## 五、發明說明 (5)

, "Tutorial on Carrierless AM/PM-Part I - Fundamentals and Digital CAP Transmitter," Contribution to ANSI X3T9.5 TP/PMD Working Group, Minneapolis, June 23, 1992.) 在收斂之後，訊號星群係受某些小訊號及 ISI 破壞之複數符號  $A_n = a_n + j b_n$  顯示所構成。

在正常操作模式中，圖 2 中所示之決定裝置（或限幅器）130 及 135 會比較等化器 100 的取樣輸出  $y_n + \tilde{y}_n$  與有效符號值  $a_n$  及  $b_n$ ，及決定那些符號已被傳送。這些被限幅的符號會以  $\hat{a}_n$  及  $\hat{b}_n$  代表。然後，接收器會計算下述同相位及正交誤差  $e_n$  及  $\tilde{e}_n$ ：

$$e_n = y_n - \hat{a}_n, \quad (7a)$$

$$\tilde{e}_n = \tilde{y}_n - \hat{b}_n, \quad (7b)$$

及使用熟悉的最小平方演繹法更新二適應濾波器的分接係數，亦即，

$$c_{n+1} = c_n - \alpha e_n r_n, \quad (8a)$$

$$d_{n+1} = d_n - \alpha \tilde{e}_n r_n, \quad (8b)$$

其中  $\alpha$  係用於分接調整演繹法之步階大小。

現在參考圖 4，其顯示互耦合 F S L E 2 0 0。關於此等化器的結構，A/D 取樣會首先分別饋至二固定的同相位及正交 F I R 濾波器，210 和 205。在此情形下，A/D 125 的取樣速率  $1/T'$  典型上等於符號速率  $1/T$  的四倍。二固定 F I R 濾波器的輸出係被以  $1/T''$  速率計算，該  $1/T''$  速率符合此技術中所習知的用於分析訊號之取樣理論。然後，輸出訊號會被饋送至具有稱為

(請先閱讀背面之注意事項再填寫本頁)

## 五、發明說明 (6)

互耦合結構之等化器 200。典型上， $1/T'$  係符號速率  $1/T$  的二倍。

互耦合等化器 200 使用二適應 F I R 濾波器 215a 及 215b，均具有分接向量  $a_n$  及  $b_n$ 。為簡化起見，再度使用相同的向量符號  $c_n$  及  $d_n$ （用於先前所述之圖 2 的等化器）。但是，對習於此技藝者而言，應明瞭對二種等化器而言，分接向量係不同的。這二個濾波器均被使用二次以計算等化器的輸出  $y_n$  及  $\tilde{y}_n$ 。設  $r_n$  及  $\tilde{r}_n$  係同相位及正交濾波器的輸出向量，用以計算互耦合等化器之輸出。可界定如下：

$$C_n = c_n + j d_n, \quad (9a)$$

$$R_n = r_n + j \tilde{r}_n \quad (9b)$$

$$Y_n = y_n + j \tilde{y}_n. \quad (9c)$$

可以下述簡潔方式表示等化器的複數輸出  $Y_n$

$$Y_n = C_n^* R_n, \quad (10)$$

其中星號 \* 代表共軛複數。將限幅複數符號  $\hat{A}_n$  及複數誤差  $E_n$  定義如下：

$$\hat{A}_n = \hat{a}_n + j \hat{b}_n, \quad (11a)$$

$$E_n = Y_n - \hat{A}_n. \quad (11b)$$

用於更新複數分接向量  $C_n$  之 L M S 演繹法可表示如下

:

$$C_{n+1} = C_n - \alpha E_n^* R_n. \quad (12)$$

現在參考圖 5，其顯示四濾波器 F S L E。四濾波器等化器 300 除了適應部份係由四個不同的濾波器而非被

(請先閱讀背面之注意事項再填寫本頁)

## 五、發明說明(7)

使用二次之二濾波器構成外，均與圖4所示之互耦合F S L E 2 0 0 具有相同的一般結構。等化器300的二輸出訊號會被計算如下：

$$y_n = \mathbf{c}_{1,n}^T \mathbf{r}_n + \mathbf{d}_{2,n}^T \tilde{\mathbf{r}}_n \quad (13a)$$

$$\tilde{y}_n = \mathbf{c}_{2,n}^T \tilde{\mathbf{r}}_n - \mathbf{d}_{1,n}^T \mathbf{r}_n. \quad (13b)$$

在方程式(7a)及(7b)中使用同相位及正交誤差 $e_n$ 和 $\tilde{e}_n$ 之定義，則用於四濾波器之分接演繹法結果如下：

$$\mathbf{c}_{1,n+1} = \mathbf{c}_{1,n} - \alpha e_n \mathbf{r}_n, \quad (14a)$$

$$\mathbf{d}_{1,n+1} = \mathbf{d}_{1,n} + \alpha \tilde{e}_n \mathbf{r}_n, \quad (14b)$$

$$\mathbf{c}_{2,n+1} = \mathbf{c}_{2,n} - \alpha \tilde{e}_n \tilde{\mathbf{r}}_n \quad (15a)$$

$$\mathbf{d}_{2,n+1} = \mathbf{d}_{2,n} - \alpha e_n \tilde{\mathbf{r}}_n. \quad (15b)$$

已於圖2至5中概述某些習知技藝等化器的結構，現在將使用圖2之等化器結構說明盲等化觀念之概論。

### 盲等化觀念

在正常操作模式(穩定狀態)下，圖2中的決定裝置，亦即限幅器130及135，會比較等化器的複數輸出取樣 $Y_n$ ( $Y_n = y_n + j \tilde{y}_n$ )與所有可能的傳送複數符號 $A_n$ ( $A_n = a_n + j b_n$ )，並選取最接近 $Y_n$ 之符號 $\hat{A}_n$ 。然後，接收器會計算誤差 $E_n$ ，其中 $E_n$ ：

$$E_n = Y_n - \hat{A}_n, \quad (16)$$

其係用以更新等化器100之分接係數。此種之分接適應稱為「決定導向」，這是因為它使用限幅器130及

(請先閱讀背面之注意事項再填寫本頁)

訂

線

## 五、發明說明 (8 )

135。最通用的分接更新演繹法係 L M S 演繹法，其係使均方差 (M S E) 最小之隨機梯度演繹法，定義如下：

$$M S E \triangleq E[|E_n|^2] = E[|Y_n - \hat{A}_n|^2] = E[e_n^2] + E[\tilde{e}_n^2], \quad (17)$$

其中  $E[\cdot]$  代表期望值，而  $e_n$  及  $\tilde{e}_n$  係分別為同相位及正交誤差。

如圖 6 所示，在起動開始時，等化器 100 的輸出訊號  $Y_n$  會被很多碼際干擾摧毀。後者代表為用於如圖 2 所示之使用相位分離 F S L E 之 64 C A P 而取得之實驗資料。

當於起動期間使用訓練序列時（亦即  $A_n$  符號之預定序列），接收器能藉由使用等化器輸出訊號  $Y_n$  及已知的傳送符號  $A_n$  而計算有意義的誤差  $E_n$ 。在此情形下，分接適應係以「理想參考」達成以便與決定導向分接適應區別。

但是，當無訓練序列可資利用時，等化器 100 必須被盲收斂。在此情形下，如圖 6 所示，由於限幅器會作出太多錯誤決定，所以，不能使用決定導向分接更新演繹法。

因此，盲等化之原理係使用可使成本函數最小之分接適應演繹法，其比方程式 (17) 所代表之 M S E 更適宜提供等化器 100 之初始收斂。將於下說明 R C A 、 C M A 及 M M A 演繹法中所使用之成本函數。

在啓動期間之等化器收斂通常係由二主要步驟所構成。首先，使用盲等化演繹法開啓「眼圖（此後稱為其張開眼睛）」。一旦眼睛充分張開，則接收器會切換至決定導

(請先閱讀背面之注意事項再填寫本頁)

訂

線

## 五、發明說明 (9)

向分接演繹法。

### 減化星群演繹法 (RCA)

此節將提供 RCA 演繹法之概論。概論之後將說明上述每一等化器結構中之 RCA 演繹法的前後關係。

根據 RCA 演繹法，會導出與比所收到的星群具有更少點數之訊號星群有關之分接更新演繹法中所使用之誤差。再度假設訊號星群包括 64 個符號。如圖 8 所示，在 RCA 演繹法中，減化星群典型上係僅由四訊號點所構成。應注意，RCA 演繹法要求使用決定裝置，例如限幅器，以從減化星群中選取最接近的點。所接收的取樣  $Y_n$  與減少星群之最接近訊號點  $A_{r,n}$  之間的誤差係複數：

$$E_{r,n} = e_{r,n} + j\tilde{e}_{r,n} = Y_n - \hat{A}_{r,n}, \quad \text{其中} \quad (18)$$

$$\hat{A}_{r,n} = \hat{a}_{r,n} + j\hat{b}_{r,n} = R [\operatorname{sgn}(y_n) + j\operatorname{sgn}(\tilde{y}_n)] \quad (19)$$

其中  $\operatorname{sgn}(\cdot)$  係正負號函數而右側之表示式係對應於減化星群由四點所構成之情形。減化星群演繹法會使下述成本函數最小：

$$CF = E[|E_{r,n}|^2] = E[e_{r,n}^2 + \tilde{e}_{r,n}^2] = E[|Y_n - \hat{A}_{r,n}|^2], \quad (20)$$

其中  $E[\cdot]$  代表期望值而  $e_{r,n}$  係指限幅誤差。

現在，考慮圖 2 中所示之分相等化器結構。使用方程式 (5)、(6) 及 (20)，則造成下述方程式：

$$e_{r,n} = y_n - \hat{a}_{r,n} = \mathbf{c}_n^T \mathbf{r}_n - R \operatorname{sgn}(y_n), \quad (21a)$$

$$\tilde{e}_{r,n} = \tilde{y}_n - \hat{b}_{r,n} = \mathbf{d}_n^T \mathbf{r}_n - R \operatorname{sgn}(\tilde{y}_n) \quad (21b)$$

與分接向量  $\mathbf{c}_n$  及  $\mathbf{d}_n$  有關之方程式 (20) 所代表之

(請先閱讀背面之注意事項再填寫本頁)

訂

線

## 五、發明說明 (10)

成本函數的梯度係等於：

$$\nabla_c(CF) = 2E[e_{r,n}r_n], \quad (22a)$$

$$\nabla_d(CF) = 2E[\tilde{e}_{r,n}r_n]. \quad (22b)$$

當頻道被完美地等化時，亦即當所接收的取樣  $Y_n$  等於符號值  $A_n$  時，這些梯度等於零。此條件造成下述值  $R$ ：

$$R = \frac{E[a_n^2]}{E[|a_n|]}. \quad (23)$$

舉例而言，考慮關於分接向量  $c_n$  之梯度。從方程式 (21a) 及 (21b) 之左側，具有下述條件： $E[(y_n - R \operatorname{sgn}(y_n)) r_n] = 0$ 。使用完美方程式  $y_n = a_n$ 。而且，假使假設不同符號係不相關的，則：  
 $E[a_n r_n] = k_n E[a_n^2]$ ，其中  $k_n$  係元素為頻道函數之固定向量。然後，上述條件可寫成： $E[a_n^2] - R E[\operatorname{sgn}(a_n) a_n] = 0$ 。注意，  
 $\operatorname{sgn}(a_n) a_n = |a_n|$  並對  $R$  求解，得到方程式 (23)。

方程式 (22a) 及 (22b) 中的非平均梯度可用於隨機梯度演繹法以使等化器的分接係數適應，以致於取得下述分接更新演繹法：

$$c_{n+1} = c_n - \alpha[y_n - R \operatorname{sgn}(y_n)]r_n, \quad (24a)$$

$$d_{n+1} = d_n - \alpha[\tilde{y}_n - R \operatorname{sgn}(\tilde{y}_n)]r_n. \quad (24b)$$

現在參考圖 4 所示之互耦合 F S L E 結構，從方程式 (10) 計算此等化器的複數輸出  $Y_n$ 。於方程式 (20) 中使用此表示式，則關於複數分接向量  $C_n$  之成本函數的梯

(請先閱讀背面之注意事項再填寫本頁)

訂  
線

## 五、發明說明 (11)

度爲：

$$\nabla_C = E[(Y_n - \hat{A}_{r,n})^* R_n]. \quad (25)$$

假設取得下述之對於 R 之完美等化頻道表示式：

$$R = \frac{E[|A_n|^2]}{E[|a_n|] + E[|b_n|]} = \frac{E[|A_n|^2]}{2E[|a_n|]}, \quad (26)$$

其中右方之表示式與方程式 (23) 中用於

$E[|a_n|] = E[|b_n|]$  一般情形之右方表示式相同。用於複數分接向量  $C_n$  之分接更新演繹法給定如下：

$$C_{n+1} = C_n - \alpha(Y_n - \hat{A}_{r,n})^* R_n. \quad (27)$$

現在參考圖 5 所示之四濾波器 F S L E 結構，從方程式 (13a) 及 (13b) 計算四濾波器等化器的輸出  $y_n$  及  $\tilde{y}_n$ 。方程式 (20) 中關於四分接向量的成本函數之梯度類似於方程式 (22a) 與 (22b)，此處不再重述。

分接更新演繹法給定如下：

$$c_{1,n+1} = c_{1,n} - \alpha[y_n - R \operatorname{sgn}(y_n)] r_n, \quad (28a)$$

$$d_{1,n+1} = d_{1,n} + \alpha[\tilde{y}_n - R \operatorname{sgn}(\tilde{y}_n)] r_n \quad (28b)$$

$$c_{2,n+1} = c_{2,n} - \alpha[\tilde{y}_n - R \operatorname{sgn}(\tilde{y}_n)] \tilde{r}_n \quad (28c)$$

$$d_{2,n+1} = d_{2,n} - \alpha[y_n - R \operatorname{sgn}(y_n)] \tilde{r}_n, \quad (28d)$$

其中常數 R 與方程式 (23) 相同。

RCA 因爲是典型的最小複數盲等化演繹法，所以，其主要優點係其低實施成本。方除了限幅器使用不同點數外，方程式 (24a)、(24b)、(27) 及 (28) 所代表之分接更新演繹法與方程式 (8a) 及 (8b) 所代表之標準 LMS 演繹法相同。

RCA 的主要缺點係其不可預測性及缺乏堅固性。已

(請先閱讀背面之注意事項再填寫本頁)

訂

線

## 五、發明說明 (12)

知演繹法通常收斂至稱為「錯誤解」。從頻道等化觀點而言，這些解是相當可接收的，但是無法允許接收器恢復正確資料。應指出，圖 2 中的等化結構比圖 4 中的結構更加容易收斂至錯誤解。這是由於前者比後者具有更多之自由度。

通常由圖 2 中的等化器結構觀察到之錯誤解係稱為對角線解。在此情形下，同相位及正交濾波器等二者均會收斂至相同濾波器，以致於它們均會產生相同的輸出取樣。結果，如同 6 4 - C A P 訊號點星群之圖 2 0 所示，等化器輸出處的訊號星群係由延著對角線群聚之點所構成。已發現對角線解的發生頻率主要視通訊頻道而定。特別是，當些極小的傳輸延遲偏移導入頻道中時其通常會產生。（對照地，圖 1 6 顯示使用 M M A 盲等化演繹法之 6 4 - C A P 訊號點星群之正確解）

當同相位及正交濾波器將彼此相差符號週期整數之傳輸延遲導入時，會發生其它錯誤解。舉例而言，在給定的取樣時刻， $a_n$  可能出現在同相位濾波器的輸出，而  $b_{n-1}$  會出現在正交濾波器的輸出。此種錯誤解能在等化器的輸出處產生未對應被傳送的訊號之訊號星群中的點。舉例而言，3 2 點訊號星群可轉換成 3 6 點星群及圖 1 3，1 4 和 1 5 中的 1 2 8 點星群可轉換成 1 4 4 點星群。

### 固定模數演繹法 (C M A)

此節將提供 C M A 演繹法之概論。此概論之後，將說

(請先閱讀背面之注意事項再填寫本頁)

註

訂

線

## 五、發明說明 (13)

明每一上述等化器結構的前後關係中之 CMA 演繹法。

CMA 演繹法會使關於半徑  $R$  為的圓之等化取樣  $Y_n$  的分散最小。此點以圖形說明於圖 9 中。CMA 演繹法會使下述成本函數最小：

$$CF = E[(|Y_n|^L - R^L)^2], \quad (29)$$

其中  $L$  係正整數。實務上最常使用  $L = 2$  之情形。方程式 (29) 中的成本函數係真正的二維成本函數，其可使與圓形二維圖形有關之等化器複數輸出訊號  $Y_n$  的分散最小。

現在，考慮圖 2 中所示之分相等化器結構。與分接向量  $c_n$  及  $d_n$  有關的成本函數之梯度給定如下：

$$\nabla_c (CF) = 2L \times E[2(|Y_n|^L - R^L)|Y_n|^{L-2}y_n r_n] \quad (30a)$$

$$\nabla_d (CF) = 2L \times E[2(|Y_n|^L - R^L)|Y_n|^{L-2}\tilde{y}_n r_n]. \quad (30b)$$

假設完美等化頻道，取得下述  $R^L$  值：

$$R^L = \frac{E[|A_n|^{2L-2}a_n^2]}{E[|A_n|^{L-2}a_n^2]} = \frac{E[|A_n|^{2L}]}{E[|A_n|^L]}, \quad (31)$$

其中右方之表示式係可用於符號  $a_n$  及  $b_n$  的統計相同之正常情形。對於  $L = 2$  而言，可得下述隨機梯度分接更新演繹法：

$$c_{n+1} = c_n - \alpha(y_n^2 + \tilde{y}_n^2 - R^2)y_n r_n \quad (32a)$$

$$d_{n+1} = d_n - \alpha(y_n^2 + \tilde{y}_n^2 - R^2)\tilde{y}_n r_n. \quad (32b)$$

現在參考圖 4 所示之互耦合 F S L E 結構，由方程式 (29) 代表之與複數分接向量  $C_n$  有關的成本函數之梯度等於：

(請先閱讀背面之注意事項再填寫本頁)

## 五、發明說明 (14)

$$\nabla_c(CF) = 2L \times E[|Y_n|^L - R^L] |Y_n|^{L-2} Y_n^* \mathbf{R}_n. \quad (33)$$

對  $L = 2$  而言，用於複數分接向量之分接更新演繹法變成：

$$\mathbf{C}_{n+1} = \mathbf{C}_n - \alpha(|Y_n|^2 - R^2) Y_n^* \mathbf{R}_n, \quad (34)$$

其中  $R$  係由方程式 (31) 右方的表示式所給定。

現在參考圖 5 所示之四濾波器 F S L E，由方程式 (29) 表示之與四分接向量有關的成本函數之梯度類似於方程式 (30a) 及 (30b) 所給定之梯度。對  $L = 2$  而言，分接更新演繹法變成：

$$\mathbf{c}_{1,n+1} = \mathbf{c}_{1,n} - \alpha(y_n^2 + \tilde{y}_n^2 - R^2) y_n \mathbf{r}_n, \quad (35a)$$

$$\mathbf{d}_{1,n+1} = \mathbf{d}_{1,n} + \alpha(y_n^2 + \tilde{y}_n^2 - R^2) \tilde{y}_n \mathbf{r}_n, \quad (35b)$$

$$\mathbf{c}_{2,n+1} = \mathbf{c}_{2,n} - \alpha(y_n^2 + \tilde{y}_n^2 - R^2) \tilde{y}_n \tilde{\mathbf{r}}_n, \text{ 及} \quad (35c)$$

$$\mathbf{d}_{2,n+1} = \mathbf{d}_{2,n} - \alpha(y_n^2 + \tilde{y}_n^2 - R^2) y_n \tilde{\mathbf{r}}_n. \quad (35d)$$

常數  $R$  與方程式 (31) 中相同。

C M A 的主要優點係其堅固性及可預測性。不似 R C A，其很少收斂至錯誤解。對某些非此處所考慮之應用而言，其亦具有能在存在有載波相位變化下，部份地等化頻道。C M A 的主要缺點係其實施成本。C M A 分接更新演繹法比 R C A 演繹法及 M M A 演繹法更加複雜，此外，C M A 演繹法在等化器輸出處需要「旋轉器」。結果，一旦取得某程度的收斂，則在切換至決定導向分接適應演繹法之前，等化器的輸出訊號必須反旋轉。在等化器之後使用旋轉器之需求，對某些型式的應用而言，會增加 C M A 的實施成本。但是，必須指出，有些其它應用，例

(請先閱讀背面之注意事項再填寫本頁)

訂

線

## 五、發明說明 (15)

如聲頻帶及有線數據機，於其中無論如何會因其它目的，例如進入頻道中的追蹤頻率偏移，而需要旋轉器功能。在後者之這些情形下，需要旋轉並不會增加實施成本，且 CMA 會變成非常有吸引力之方法。

(請先閱讀背面之注意事項再填寫本頁)

### 多模數演繹法 (MMA)

MMA 演繹法會使圍繞分段線性同相位及正交輪廓之等化器輸出取樣  $y_n$  及  $\tilde{y}_n$  的分散最小。對於用於 16-、64-、及 256-CAP 系統之方形訊號星群的特別情形中，輪廓會變成直線。此點以圖形顯示於 64 點星群之圖 10 中。多模數演繹法會使下述成本函數最小。

$$CF = E[(y_n^L - R^L(Y_n))^2 + (\tilde{y}_n^L - \tilde{R}^L(Y_n))^2], \quad (36)$$

其中 L 為正整數， $R(Y_n)$  及  $\tilde{R}(Y_n)$  會取離散正值且係取決於等化器輸出  $Y_n$ 。

### 多模數演繹法 (MMA) - 方形星群

對方形星群而言， $R(Y_n) = \tilde{R}(Y_n) = R = \text{常數}$ ，以致於方程式 (36) 之成本函數成爲：

$$CF = CF_I + CF_Q = E[(y_n^L - R^L)^2 + (\tilde{y}_n^L - R^L)^2]. \quad (37)$$

不似方程式 (29) 所代表的用於 CMA 之成本函數，此方程式並非真正的二維成本函數。而是二獨立的一維成本函數  $CF_I$  及  $CF_Q$  之總和。將於下說明 MMA 演繹化於 (上述) 三種型式之等化器的前後關係中的應用。

對圖 2 所示的分相等化器結構而言，與分接向量  $c_n$  及

## 五、發明說明 (16)

d. 有關之方程式 (37) 中的成本函數之梯度等於：

$$\nabla_c (CF) = 2L \times E[(|y_n|^L - R^L)|y_n|^{L-2} y_n r_n], \text{ 及} \quad (38a)$$

$$\nabla_d (CF) = 2L \times E[(|\tilde{y}_n|^L - R^L)|\tilde{y}_n|^{L-2} \tilde{y}_n r_n]. \quad (38b)$$

假設完美地等化之頻道，則可得下述  $R^L$  值：

$$R^L = \frac{E[a_n^{2L}]}{E[|a_n|^L]} \quad (39)$$

以  $L = 2$  可取得成本與效率之間的最佳協調，在此情形下，分接更新演繹法變成：

$$c_{n+1} = c_n - \alpha(y_n^2 - R^2)y_n r_n, \text{ 及} \quad (40a)$$

$$d_{n+1} = d_n - \alpha(\tilde{y}_n^2 - R^2)\tilde{y}_n r_n. \quad (40b)$$

現在參考圖 4 所示之互耦合 F S L E 結構，與複數分接向量  $C$  有關之方程式 (37) 所表示的成本函數之梯度如下：

$$\nabla_C (CF) = 2L \times E[K^* R_n], \quad (41)$$

其中，

$$K = [(|y_n|^L - R^L)|y_n|^{L-2} y_n] + j[(|\tilde{y}_n|^L - R^L)|\tilde{y}_n|^{L-2} \tilde{y}_n]. \quad (42)$$

假設完美等化之頻道，則  $R^L$  值如下：

$$R^L = \frac{E[a_n^{2L} + b_n^{2L}]}{E[|a_n|^L + |b_n|^L]}, \quad (43)$$

對符  $a$  及  $b$  具有相同統計之一般情形，其會減化至方程式 (39)。對  $L = 2$  而言，用於複數分接向量  $C$  之分接更新演繹法變成：

$$C_{n+1} = C_n - \alpha K^* R_n, \quad (44)$$

其中

(請先閱讀背面之注意事項再填寫本頁)

修正  
補充 88年4月21日

A7

B7

## 五、發明說明 (7)

$$K = (y^2 - R^2)y + j(\tilde{y}^2 - R^2)\tilde{y}. \quad (45)$$

現在參考圖 5 中所示之四濾波器 F S L E 結構，與四分接向量有關之方程式 (37) 所表示的成本函數之梯度類似方程式 (6.5) 中所給定之梯度。對  $L = 2$  而言，分接更新演繹法變成：

$$c_{l,n+1} = c_{l,n} - \alpha(y_n^2 - R^2)y_n r_n, \quad (46a)$$

$$d_{l,n+1} = d_{l,n} + \alpha(\tilde{y}_n^2 - R^2)\tilde{y}_n r_n, \quad (46b)$$

$$c_{2,n+1} = c_{2,n} - \alpha(\tilde{y}_n^2 - R^2)\tilde{y}_n \tilde{r}_n \quad (46c)$$

$$d_{2,n+1} = d_{2,n} - \alpha(y_n^2 - R^2)y_n \tilde{r}_n. \quad (46d)$$

(請先閱讀背面之注意事項再填寫本頁)

常數  $R$  與方程式 (39) 中相同。

上述使用 MMA 演繹法之二步驟盲等化程序對等化器 100 而言係由圖 6、7、16 及 17 以圖形表示。等化器 100 的輸出訊號在任何收斂形式之前係顯示於圖 6 中。如同上述，圖 6 代表為使用圖 2 所示分相 F S L E 之 64-CAP 接收器而取得之實驗資料。圖 7 說明 MMA 處理收斂之開始。如圖 16 所示，MMA 技術會使等化器收斂至足以將 64 符號訊號空間清楚地顯示為 64 噪音群。雖然這些噪音群典型上對穩態操作而言是無法接受的一眼睛張開至足以允許接收器切換至 64 點限幅器及決定導向 LMS 演繹法。結果係更加清楚的星群，如圖 17 所示。典型上，雖然對較差的符號率可觀察到成功的轉移，但是當符號誤差率比  $10^{-2}$  更佳時，可在適應、MMA 二模式與決定導向之間有清楚的轉移。應指出，圖 16 中的噪音群可藉由減少 MMA 分接調整演繹法中的步階尺寸而進

## 五、發明說明 (18)

+步減化。事實上，在某些應用中，能夠不需切換至決定導向分接適應演繹法。但是，應注意，這將增加啓動時間及所需之數位精確量。

可使用用於方形星群之MMA演繹法而對非方形星群無需修改。在此情形下，由於用於符號 $a_n$ 及 $b_n$ 之離散位準並非都具有相同的發生機率（於下詳述），所以，在計算常數R時必須小心。但是，經由電腦模擬，發現對非方形星群而言MMA演繹法的收斂會比對方形星群稍微不可靠。此點可藉由使用下述節中所討論的修正MMA而修正。

(請先閱讀背面之注意事項再填寫本頁)

### 多模數演繹法 (MMA) - 非方形星群

與128-CAP訊號星群有關之修正MMA之原理說明於圖13、14及15中（128點訊號星群係以下述方式取得。首先使用符號位準 $\pm 1$ 、 $\pm 3$ 、 $\pm 5$ 、 $\pm 7$ 、 $\pm 9$ 、 $\pm 11$ 界定144點訊號星群，然後，移除每一象限中的四角落點）。現在已取得圍繞分段直線之等化器輸出取樣 $y_n$ 及 $\tilde{y}_n$ 的分散最小化。再者，對 $y_n$ 及 $\tilde{y}_n$ 而言，此點係獨立執行的。從方程式(37)導出之同相位成本函數為：

$$CF_Q = E[(\tilde{y}_n^L - R_1^L)^2] \quad \text{if } |y_n| < K \quad (47a)$$

$$CF_Q = E[(y_n^L - R_2^L)^2] \quad \text{if } |y_n| > K. \quad (47b)$$

從方程式(37)導出的正交成本函數為：

$$CF_I = E[(y_n^L - R_1^L)^2] \quad \text{if } |\tilde{y}_n| < K \quad (47c)$$

## 五、發明說明 (19)

$$CF = E[(y_n^L - R_2^L)^2] \text{ if } |\tilde{y}_n| > K. \quad (47d)$$

常數  $K$  係列入考慮之訊號星群的函數且係依經驗決定的。在 128-CAP 之電腦模擬中，建議值係  $K = 8$ 。由於用於 128 點星群中的符號  $a_n$  及  $b_n$  具有不同發生機率之二位準集合  $\{\pm 1, \pm 3, \pm 5, \pm 7\}$  及  $\{\pm 9, \pm 11\}$ ，所以，於方程式 (47) 中使用二不同模數  $R_1$  及  $R_2$ 。假使有多於具不同統計之符號位準之二集合時，可使用更多模數。

藉由評估符號相對於有給定模數之符號位準集合之矩，可從方程式 (39) 計算方程式 (47) 中的模數  $R_1$  及  $R_2$ （將於下進一步說明）。舉例而言，考慮圖 13，其係顯示用於同相位維之模數及應用至 128-CAP 訊號星群的實數符號  $a_n$ 。藉由僅考慮第一象限，計算符號的矩。考慮應用至  $R_1$  之此象限中的 24 符號之子集合。對這些符號而言， $a_n = 1, 3, 5, 7, 9, 11$ ；及  $b_n = 1, 3, 5, 7$ ；所以，每一  $a_n$  值會以  $4/24 = 1/6$  之機率發生。類似地， $R_2$  具有 8 個符號，對其而言， $a_n = 1, 3, 5, 7$  及  $b_n = 9, 11$ ，所以，每一  $a_n$  值係以  $2/8 = 1/4$  之機率發生。符號的方差為：

對  $r_1$  符號而言， $E[a_n^2] = \frac{1}{6}(1^2 + 3^2 + 5^2 + 7^2 + 9^2 + 11^2) \approx 47.67. \quad (48a)$

對  $r_2$  符號而言， $E[a_n^2] = \frac{1}{4}(1^2 + 3^2 + 5^2 + 7^2) = 21. \quad (48b)$

以類似方式計算符號的其它矩，然後用於方程式 (

(請先閱讀背面之注意事項再填寫本頁)

(請先閱讀背面之注意事項再填寫本頁)

訂  
一  
一  
線

## 五、發明說明 (20)

39) 中以估計不同模數值。

用於修正的 M M A 演繹法之分接更新演繹法，除了常數 R 係視是否收到等化器的輸出取樣  $Y_n$  而決定是由  $R_1$  或  $R_2$  取代，其餘均與方程式 (40)、(44) 及 (46) 中所示相同。圖 14 說明用於正交維之模數及應用至 128-CAP 的訊號星群符號  $b_n$ 。從代表圖 13 及圖 14 結合之圖 15 中顯然可知，同相位及正交分接更新演繹法在給定的符號週期中無須使用相同的模數  $R_1$  或  $R_2$ 。

### 資料符號的矩

將於下述中討論「資料符號的矩」之觀念。特別是，符號  $a_n$  及  $b_n$  取奇整數  $\pm 1, \pm 3, \pm 5, \pm 7, \dots$  成比例之值時用於矩  $E[|a_n|^L]$ 、 $E[|b_n|^L]$ 、及  $E[|A_n|^L]$  之封閉型表示式會被給定。然後使用這些表示式以取得用於三盲等化演繹法及顯示於圖 19 的表中之 R 值的封閉型表示式（說明於下）。

首先，假設符號  $a_n$  及  $b_n$  具有相同的統計，以致於  $E[|a_n|^L] = E[|b_n|^L]$ 。首先考慮下述已知之整數級數總合：

$$\sum_{k=1}^m k = \frac{1}{2} m(m+1), \quad (49a)$$

$$\sum_{k=1}^m k^2 = \frac{1}{6} m(m+1)(2m+1), \quad (49b)$$

$$\sum_{k=1}^m k^3 = \frac{1}{4} [m(m+1)]^2 \quad (49c)$$

$$\sum_{k=1}^m k^4 = \frac{1}{30} m(m+1)(2m+1)(3m^2 + 3m - 1). \quad (49d)$$

## 五、發明說明 (21)

使用這些總合以找出用於奇整數的級數總和之封閉型表示式。舉例而言，對級數一而言：

$$(1 + 3 + 5 + 7) = (1 + 2 + 3 + 4 + 5 + 6 + 7) - 2(1 + 2 + 3)$$

(50)

$$\rightarrow \sum_{k=1}^m (2k-1) = \sum_{k=1}^{m-1} k - 2 \sum_{k=1}^{m-1} k = m^2,$$

其中藉由使用方程式 (49a) 之封閉型表示式求得中間二總和之值。類似地，可對其它奇整數的級數總和使用類似的系列處理。

現在，考慮使用具有值  $\pm 1, \pm 3, \pm 5, \pm 7, \dots \pm (2m-1)$  之符號之方形訊號星群，其中  $m$  係不同符號位準（大小）之數目。舉例而言，對 4-CAP、16-CAP、64-CAP 及 256-CAP 方形訊號星群而言， $m$  分別等於 1、2、4 及 8。也假設所有的符號值係機率相等。結果，符號  $a_n$  的矩為：

$$E[|a_n|] = \frac{1}{m} \cdot \sum_{k=1}^m (2k-1) = m, \quad (51)$$

$$E[a_n^2] = \frac{1}{m} \cdot \sum_{k=1}^m (2k-1)^2 = \frac{1}{3}(4m^2-1), \quad (52)$$

$$E[|a_n|^3] = \frac{1}{m} \cdot \sum_{k=1}^m (2k-1)^3 = m(2m^2-1) \quad (53)$$

$$E[a_n^4] = \frac{1}{m} \cdot \sum_{k=1}^m (2k-1)^4 = \frac{1}{15}(4m^2-1)(12m^2-7). \quad (54)$$

接著，考慮複數符號  $A_n = a_n + j b_n$ 。假設符號  $a_n$  及  $b_n$  係不相關的，則取得下述用於複數符號的偶數矩之表示式：

(請先閱讀背面之注意事項再填寫本頁)

訂

線

## 五、發明說明 (22)

$$E[|A_n|^2] = 2E[a_n^2], \text{ and} \quad (55a)$$

$$E[|A_n|^4] = 2E[a_n^4] + 2[E|a_n^2|]^2. \quad (55b)$$

在方程式 (55b) 中使用方程式 (52) 及 (54)，造成：

$$E[|A_n|^4] = \frac{4}{45}(4m^2 - 1)(28m^2 - 13). \quad (56)$$

現在可使用上述這些結果以取得用於不同等化演繹法中的常數 R 之封閉型表示式。造成下述（相當簡單）表示式：

$$R_{rca} \frac{E[a_n^2]}{E[|a_n|]} = \frac{4m^2 - 1}{3m}, \quad (57)$$

$$R_{mma}^2 \frac{E[a_n^4]}{E[a_n^2]} = \frac{12m^2 - 7}{5} \quad (58)$$

$$R_{mma}^2 \frac{E[|A_n|^4]}{E[|A_n|^2]} = \frac{56m^2 - 26}{15}. \quad (59)$$

關於非方形訊號星群，即使所有的複數符號  $A_n$  係等機率的，用於  $a_n$  及  $b_n$  之不同符號位準  $2^k - 1$  仍具有不同的發生機率。此點從圖 15 所示之 128 點星群可得知。在此情形下，必須根據一般公式計算符號矩：

$$E[|a_n|^L] = P_1 \sum_{k=1}^{m_1} (2k-1)^L + P_2 \sum_{m_1+1}^{m_2} (2k-1)^L + P_3 \sum_{m_2+1}^{m_3} (2k-1)^L + \dots \quad (60)$$

其中  $P_i$  係出現在對應總和中的符號位準之發生機率。對典型的 32-CAP 及 128-CAP 星群而言，式 (60) 會限於二不同機率  $P_1$  及  $P_2$ 。

其它事項相等（亦即，符號速率、整形濾波器等），假使不論所使用的訊號星群型式為何， $E[a_n^2] = E[$

(請先閱讀背面之注意事項再填寫本頁)

(請先閱讀背面之注意事項再填寫本頁)

## 五、發明說明 (23)

$b_n^2$ ] = 常數，則能在 C A P 傳送器輸出處確保固定的平均功率。當然，假使必須滿足平均功率限制，則不同的訊號星群將必須使用不同的符號值。因此，一般而言，訊號星群會使用符號值  $\lambda (2k - 1)$ ，其中係以滿足功率限制之方式選取  $\lambda$ 。為簡化起見，假設  $E[a_n^2] = 1$ 。對方形星群而言，接著可從方程式 (52) 決定  $\lambda$  值，而造成：

$$E[a_n^2] = \frac{1}{m} \sum_{k=1}^m [\lambda(2k-1)]^2 = \frac{\lambda^2(4m^2-1)}{3} = 1 \rightarrow \lambda^2 = \frac{3}{4m^2-1}. \quad (61)$$

在方程式 (57)、(58) 及 (59) 中使用此  $\lambda$  表示式，則造成下述標準化常數  $R$  之表示式：

$$\bar{R}_{rca} = \lambda \frac{E[a_n^2]}{E[|a_n|]} = \frac{\sqrt{4m^2-1}}{m\sqrt{3}}, \quad (62)$$

$$\bar{R}_{mma}^2 = \lambda^2 \frac{E[a_n^4]}{E[a_n^2]} = \frac{3}{5} \frac{12m^2-7}{4m^2-1} \quad (63)$$

$$\bar{R}_{cma}^2 = \lambda^2 \frac{E[|A_n|^4]}{E[|A_n|^2]} = \frac{1}{5} \frac{56m^2-26}{4m^2-1}. \quad (64)$$

以類似方式可對非方形星群取得類似的表示式。當訊號星群中的點數變得非常大時，取得下述標準化常數之漸近值：

$$m \rightarrow \infty \quad \bar{R}_{rca} \approx 1.155 \quad \bar{R}_{mma} \approx 1.342 \quad \bar{R}_{cma} \approx 1.673. \quad (65)$$

### RCA、CMA 及 MMA 演繹法之概述

圖 18 之表中顯示 RCA、CMA 及 MMA 的一般比

## 五、發明說明 (24)

較。此外圖 1 9 中所示之表中顯示用於上述 R C A 、 C M A 及 M M A 盲等化技術之分接更新演繹法中的大小不同的常數 R 、 R<sub>1</sub> 及 R<sub>2</sub> 之訊號星群的說明值。圖 1 9 中所示之資料係假設符號 a<sub>n</sub> 及 b<sub>n</sub> 取離散值 ±1 、 ±3 、 ±5 、 ±7 、 ……。這些常數的封閉型表示式係如上述般被導出。

一般而言， R C A 演繹法比 C M A 或 M M A 演繹法具有較不可靠之收斂。關於 C M A 與 M M A 演繹法之間，這些演繹法均具有優點及缺點。舉例而言， C M A 演繹法提供可靠的收斂 - 因此可避免錯誤對角線解 - 但是， C M A 演繹法需要昂貴的旋轉器。相較之下， M M A 演繹法並不需要昂貴的旋轉器，但比 C M A 演繹邏輯更易於錯誤收斂。

### 符號位準的數目

任何盲收斂技術均會受等化器的輸出訊號或取樣之分佈影響。因此，符號位準數目的增加會增加等化器輸出取樣的分佈，進而更加難以使等化器盲收斂。可藉由下述 M M A 盲等化演繹法與標準 L M S 演繹法之間的比較而說明此點。

對標準 L M S 演繹法而言，成本函數可使等化器的輸出訊號 Y<sub>n</sub> 與未知的被傳送符號 A<sub>n</sub> 序列之間的誤差最小：

$$CF = E[(Y_n - A_n)^2] = E[(y_n - a_n)^2 + ((\tilde{y}_n - b_n)^2)] = E[e_n^2(LMS) + \tilde{e}_{r,n}^2(LMS)] \quad (66)$$

其中  $Y_n = y_n + j\tilde{y}_n$  ,  $A_n = a_n + jb_n$ .

(請先閱讀背面之注意事項再填寫本頁)

訂

線

## 五、發明說明 (25)

相較之下，對 M M A 等化演繹法而言，成本函數會使星群分散最小：

$$CF = E[(y_n^2 - R^2)^2 + (\tilde{y}_n^2 - R^2)^2] = E[e_{r,n}^2(CF) + \tilde{e}_{r,n}^2(CF)], \quad (67)$$

其中常數 R 的表示式為：

$$R^2 = \frac{E[a_n^4]}{E[a_n^2]}, \quad (68)$$

比較方程式 (66) 與 (67) 中的二成本函數，可得知誤差對 L M S 演繹法及 M M A 演繹法而言具有不同的解釋。

在 L M S 演繹法中，誤差  $e_{r,n}(LMS)$  定義如下

:

$$e_{r,n}(LMS) = y_n - a_n; \quad (69)$$

而分接會於梯度的相對方向中被更新

$$c_{n+1} = c_n - \mu e_{r,n}(LMS) r_n = c_n - \mu(y_n - a_n) r_n. \quad (70)$$

當  $y_n$  及  $a_n$  代表限幅器的輸入及輸出時，在分接更新期間中所使用之以 L M S 為基礎之誤差等於限幅器處所量得之誤差且為良好界定之量。因此，當直接計算關於限幅器的輸入及輸出之誤差時，等化器能收斂至最佳解。

相反地，在 M M A 演繹法中，不同地界定誤差  $e_{r,n}(CF)$ 。應注意，由於 L M S 演繹法使用訊號之第二階統計，而 M M A 使用第四階統計，所以，此處為達比較目的，使用  $L = 1$  之 M M A 演繹法簡化版。對此一維 M M A 而言，一般化之 M M A 的誤差  $e_{r,n}(CF)$  變成

$$e_{r,n}(CF) = |y_n| - R; \quad (71)$$

(請先閱讀背面之注意事項再填寫本頁)

訂

線

## 五、發明說明 (26)

而濾波器的分接被更新如下：

$$c_{n+1} = c_n - \mu e_{r,n}(CF)r_n = c_n - \mu(|y_n| - R)r_n. \quad (72)$$

從方程式 (72) 中，分接不於限幅器誤差的方向中被準確地更新。相反地，會參考具有關於實數符號  $a_n$  之統計資訊之常數  $R$  而達成誤差最小化。濾波器適應的發生係視  $R$  的發生而定， $R$  係視  $m$  而定。結果，誤差  $e_{r,n}(CF)$  僅具有統計意義且以均方差 (MSE) 之觀點而言無法確保等化器總是可收斂至最佳解。

假使盲等化演繹法不是最佳，則當等化器收斂時， $CF \neq 0$ 。亦即，存在有成本函數之餘數值。為說明起見，將檢視 MMA 演繹法以探討成本函數的餘數值  $CF$  為何。

對於完美收斂之盲啓動， $y_n \rightarrow a_n$ 。結果，成本函數  $CF$  收斂至  $CF_{a,n}$ ：

$$CF = E[(y_n^2 - R^2)^2] \rightarrow CF_{a,n} = E[(a_n^2 - R^2)^2]. \quad (73)$$

此成本函數  $CF_{a,n}$  會如下展開及簡化：

$$CF_{a,n} = E[(a_n^2 - R^2)^2] \quad (74a)$$

$$= E[a_n^4 - 2a_n^2R^2 + R^4] \quad (74b)$$

$$= E[a_n^4] - 2E[a_n^2]\frac{E[a_n^4]}{E[a_n^2]} + R^4 \quad (74c)$$

$$= E[a_n^4] - 2E[a_n^2]\frac{E[a_n^4]}{E[a_n^2]} + R^4 \quad (74d)$$

$$= R^4 - E[a_n^4] \quad (74e)$$

$$= \frac{E^2[a_n^4]}{E^2[a_n^2]} - E[a_n^4]. \quad (74f)$$

應注意，僅對同相位維提供分析，並對正交相位維作

(請先閱讀背面之注意事項再填寫本頁)

## 五、發明說明 (27)

相同分析。成本函數可表示成符號位準  $m$  的數目之函數。

從上述「資料符號的矩」之計算中，常數  $R$  為：

$$R^2 = \frac{12m^2 - 7}{5}, \quad (75)$$

而符號  $a_n$  的第四矩為：

$$E[a_n^4] = \frac{1}{15}(4m^2 - 1)(12m^2 - 7). \quad (76)$$

然後，成本函數  $CF_{a \cdot n}$  可重寫為：

$$CF_{an} = R^4 - E[a_n^4] \quad (77)$$

$$= \left(\frac{12m^2 - 7}{5}\right)^2 - \frac{1}{15}(4m^2 - 1)(12m^2 - 7) \quad (78)$$

$$= \frac{16}{75}(12m^2 - 7)(m^2 - 1) \quad (79)$$

$$= \frac{16}{75}(12m^4 - 19m^2 + 7). \quad (80)$$

在成本函數  $CF_{a \cdot n}$  的收斂及穩態值可輕易地被計算之後，方程式 (80) 以簡單方式表示成本函數。符號位準  $m$  (大小) 的數目可從用於 C - C A P 之星群點 C 的數目算出：

$$m = \frac{\sqrt{C}}{2}. \quad (81)$$

方程式 (80) 顯示  $m = 1$  時， $CF_{a \cdot n} = 0$ ，及  $m \neq 1$  時， $CF_{a \cdot n} \neq 0$ 。舉例而言，計算  $CF_{a \cdot n}$  造成下述結果：對 4 - C A P， $m = 1$  而言， $CF_{a \cdot n} = 0$ ，對 16 - C A P， $m = 2$  而言， $CF_{a \cdot n} = 1.4 . 2$  d B，及對 64 - C A P， $m = 4$  言， $CF_{a \cdot n} = 2.7 . 7$  D b

(請先閱讀背面之注意事項再填寫本頁)

訂

線

## 五、發明說明 (28)

等。此意指僅可對  $4 - CAP$ ,  $m = 1$  取得盲等化器之最佳收斂。成本函數  $C F_{a \cdot n}$  的餘數值會隨著  $m$  的增加而顯著增加。最後，由於數目  $m$  的大值，所以， $C F_{a \cdot n}$  的餘數值會變大以致於盲等化器無法收斂。

$C F_{a \cdot n}$  的餘數值係數目  $m$  之增加函數，且等化器的收斂會被那些值直接影響。結論是，盲演繹法的可靠度會隨著  $m$  值增加而高度劣化。當  $C F_{a \cdot n}$  的餘數值增加至某些量之外時，眼睛圖會無法張開。實驗發現，標準 MMA 僅對  $m$  小於對應  $256 - CAP$  的八之  $CAP$  應用有效。

(請先閱讀背面之注意事項再填寫本頁)

### 近似盲收斂之窗口法

根據發明觀念，盲收斂技術係限於使用等化器輸出取樣之子集合。即使符號位準增加，這仍能改進盲收斂等化器之能力。

在發明之實施例中，接收器會施行窗口 MMA (WMMA) 法。在此 WMMA 法中，取樣窗口會與代表等化器輸出取樣集合之二維平面重疊。在濾波器適應期間，使用那些僅出現在取樣窗口內的等化器輸出取樣。圖 21 顯示一實施例，其中取樣窗係由延著每一維之二虛線所界定—虛線 601 及 602 用於同相位維，而虛線 603 及 604 用於正交相位維。這些虛線會形成排除區 600 及訊號空間內的取樣窗。根據 WMMA，在濾波適應期間，使用那些僅落在窗口內的取樣  $y_{n \cdot m}$ ，亦即排除區之外。此點與使用所有取樣的 MMA 相反。因此，窗口的大小決

## 五、發明說明 (29)

定濾波器適應期間所使用之資料  $y_{n-w}$  的集合，因而可實現等化器的收斂。

關於說明，將於下說明窗口 MMA 法的二種不同變化。第一變化係「半星群 W M M A 」而第二變化係「邊緣點 W M M A 」。為了這些實施例，窗口的大小會隨著單一參數  $m_w$  的值函數改變，造成方形排除區。但是，應注意每一虛線可能與不同參數值有關，因而造成非方形排除區。

(請先閱讀背面之注意事項再填寫本頁)

### 半星群 W M M A

圖 22 所示係用於 64-CAP 星群之半星群窗口。在同相位維的情形中，取樣  $y_n$  會由窗邊界  $m_w$  以  $|y_n| \leq m_w$  及  $|y_{n-w}| > m_w$  分割成二集合。藉由新取樣  $y_{n-w}$ ，則成本函數 CF 界定如下：

$$CF = E[(y_{n,w}^2 - R_w^2)^2]. \quad (82)$$

注意，由於訊號  $y_{n-w}$  收斂至具有符號  $a_{n-w}$  之不同星群，所以，常數  $R$  會變成  $R_w$ ，其中  $a_{n-w} = \{\pm 5, \pm 7\}$ 。以取樣  $y_{n-w}$  更新等化器的分接及以取樣  $|y_n|$  使等化器的分接維持不變。關於半星群 W M M A，窗口邊界定義如下：

$$m_w = m. \quad (83)$$

其中  $m$  係指符號位準的數目，而最高符號位準的大小係給定為  $2m - 1$ 。窗邊界  $m_w$  係界定成相同數目的內部點

## 五、發明說明 (30)

及外部點符號  $a_n$  係包含於圍繞常數  $R$  之中。換言之，用以更新分接之資料  $y_{n,w}$  係對稱地分佈於  $R$  的二側上。由於構成新星群之部份符號  $a_{n,w}$  的數目為原始符號  $a_n$  的數目之一半，所以，稱為半星群 W M M A。對半星群 W M M A 而言，需相關於符號  $a_{n,w}$  求出常數  $R_w$  的值。藉由取樣  $y_{n,w}$ ，成本函數  $C_F$  現在會收斂至符號  $a_{n,w}$ ：

$$CF = E[(y_{n,w}^2 - R_w^2)^2] \rightarrow CF = E[(a_{n,w}^2 - R_w^2)^2]. \quad (84)$$

然後，如下計算常數  $R_w$

$$R_w = \frac{E[a_{n,w}^4]}{E[a_{n,w}^2]}. \quad (85)$$

注意， $a_{n,w}$  的初始引數不會從一開始。因此，用於符號  $a_{n,w}$  的矩必須能以任意初始引數導出。下述實施例係用於  $E[a_{n,w}^2]$  的計算。第二階期望值重寫如下：

$$E[a_{n,w}^2] = \frac{1}{w} \left( \sum_{n=1}^M a_n^2 - \sum_{n=1}^{M_w} a_n^2 \right). \quad (86)$$

參數  $w$  代表包含  $a_{n,w}$  的星群所需之符號位準數目。對半星群 W M M A 而言，

$$w = \frac{1}{2} m. \quad (87)$$

方程式 (87) 意指需要原始符號位準的數目之一半。參數  $M$  代表最大的符號位準之數目而參數  $M_w$  代表窗邊界  $m_w$  之下的符號位準數目。參數給定如下：

$$M = 2m - 1 \text{ 及 } M_w = m - 1 \quad (88)$$

(請先閱讀背面之注意事項再填寫本頁)

## 五、發明說明 (31)

然後計算常數  $R_w$  如下：

$$R_w^2 = \frac{E[a_{n,w}^4]}{E[a_{n,w}^2]} \quad (89a)$$

$$= \frac{\frac{1}{w} \left[ \sum_{n=1}^M a_n^4 - \left[ \sum_{n=1}^{M_w} a_n^4 \right] \right]}{\frac{1}{w} \left[ \sum_{n=1}^M a_n^2 - \left[ \sum_{n=1}^{M_w} a_n^2 \right] \right]} \quad (89b)$$

$$= \frac{\frac{2}{m} \left[ \sum_{n=1}^m a_n^4 - \left[ \sum_{n=1}^w a_n^4 \right] \right]}{\frac{2}{m} \left[ \sum_{n=1}^m a_n^2 - \left[ \sum_{n=1}^w a_n^2 \right] \right]} \quad (89c)$$

$$= \frac{\frac{m}{15} (48m^4 - 40m^2 + 7) - \frac{m}{30} (3m^4 - 10m^2 + 7)}{\frac{m}{3} (4m^2 - 1) - \frac{m}{6} (m^2 - 1)} \quad (89d)$$

$$= \frac{m(\frac{31}{10}m^4 - \frac{7}{3}m^2 + \frac{7}{30})}{\frac{m}{6}(7m^2 - 1)} \quad (89e)$$

$$= \frac{93m^4 - 70m^2 + 7}{35m^2 - 5}. \quad (89f)$$

圖 2.3 所示之表提供用於 MMA 之常數  $R$  的值及用於 W MMA 的常數  $R_w$  的值。從圖 2.3 的表中可知  $R_w$  值總是大於  $R$  的值。

接著，計算用於半星群 W MMA 的成本功能之餘數值以顯示可取得多少減化。從方程式 (7.4.e)：

$$CF_{a,n} = R^4 - E[a_n^4] \rightarrow CF_{an} = R_w^4 - E[a_{n,w}^4]. \quad (90)$$

取代  $R^2_w$  為：

$$R_w^2 = \frac{93m^4 - 70m^2 + 7}{35m^2 - 5}, \quad (91)$$

及取代  $E[a_{n,w}^4]$  為：

$$E[a_{n,w}^4] = \frac{2(93m^4 - 70m^2 + 7)}{m}, \quad (92)$$

## 五、發明說明 (32)

然後取得用於半星群 W M M A 之成本函數如下：

$$CF_{a,n} = R_w^4 - E[(a_{n,w}^2 - R_w^2)^2] \quad (93a)$$

$$= R_w^4 - E[a_{n,w}^4] \quad (93b)$$

$$= \frac{(93m^4 - 70m^2 + 7)^2}{(35m^2 - 5)^2} - 2 * \frac{93m^4 - 70m^2 + 7}{m} \quad (93c)$$

$$= \frac{2}{75} * \frac{(93m^4 - 70m^2 + 7)(m+2)(m-2)(17m^2 - 2)}{7m^2 - 1} \quad (93d)$$

圖 2 4 中所示之表，提供用於 M M A 及半星群 W M M A 的成本函數之餘數值之比較。此表顯示用於 1 6 - C A P 的成本函數變成零，而對其它 C A P 系統可取得約 5 d B 的縮減。因此，使用 W M M A，則成本函數  $CF_{a,n}$  對 1 6 - C A P 會變成最佳。對其它 C A P 系統而言，成本函數  $CF_{a,n}$  會減少。成本函數  $CF_{a,n}$  的餘數值之減少可改進盲等化器的可靠度及收斂速率。

(請先閱讀背面之注意事項再填寫本頁)

訂

線

### 邊緣點 W M M A

邊緣點 W M M A 係作 W M M A 的第二應用。除了修改取樣窗參數修改外，方程式 (81) 中用於半星群 W M M A 之成本函數可直接應用至邊緣點 W M M A。窗參數顯示於圖 2 5 中，其中窗邊界  $m_w$  係定義如下：

$$m_w = 2(m - 1) \quad (94)$$

根據此定義，則符號  $a_{n+w}$  紿定為  $a_{2m-1}$ 。用於第一適應之符號僅為那些具有最大值者。圖 2 5 顯示這些符號

## 五、發明說明 (33)

係地理上位於原始星群的邊緣。因為僅有一符號位準牽涉於其中，所以， $R_w$  的計算簡單給定如下：

$$R_w = a_{n,w} = 2m - 1 \quad (95)$$

上述方程式造成下述等式：

$$R_w^2 = E[a_{n,w}^2]. \quad (96)$$

方程式 (96) 又造成下述結果：

$$CF_{a,w} = E[(a_{n,w}^2 - R_w^2)^2] \rightarrow 0. \quad (97)$$

方程式 (97) 顯示能以此成本函數取得零值。亦即，藉由邊緣 W M M A，成本函數對任何 C A P 系統會成為最佳。

邊緣點及半星群 M M A 除了使用不同的窗參數外，它們基本上是相同的。但是，根據半星群 W M M A，僅能對 16-CAP 取得最佳收斂，而根據下述條件下之邊緣點 W M M A，可對任何 C A P 應用取得最佳收斂。

邊緣點星群的設計參數簡單且易於施行。但是，對高階 C A P 應用因其它因素也會影響收斂而無法取得預期之性能，例如缺乏足夠的資料取樣  $y_n$ 。

(請先閱讀背面之注意事項再填寫本頁)

訂

線

## 五、發明說明 (34)

### 濾波器適應

此節將說明用以更新用於半星群 W M M A 及邊緣點 W M M A 法的分接係數之演繹法。為簡化起見，先前所述之對於 W M M A 的分析僅針對同相位維。對於 W M M A 之完整的二維成本函數給定如下：

$$CF = [(y_{n,w}^2 - R_w^2)^2 + (\tilde{y}_{n,w}^2 - R_w^2)^2]. \quad (98)$$

如上所述，藉由使用用於  $y_{n,w}$  之不同定義，成本函數可應用至半星群及邊緣點 W M M A。方程式 (98) 中相關於分接向量  $c_n$  及  $d_n$  的成本函數之梯度等於：

$$\nabla_c = (y_{n,w}^2 - R_w^2)y_{n,w}\mathbf{r}_n \quad \nabla_d = (\tilde{y}_{n,w}^2 - R_w^2)\tilde{y}_{n,w}\mathbf{r}_n. \quad (99)$$

然後，在梯度的相對方向中以隨機方式更新濾波器的分接：

$$c_{n+1} = c_n - \mu(y_{n,w}^2 - R_w^2)y_{n,w}\mathbf{r}_n, \quad (100)$$

$$d_{n+1} = d_n - \mu(\tilde{y}_{n,w}^2 - R_w^2)\tilde{y}_{n,w}\mathbf{r}_n. \quad (101)$$

注意， $y_{n,w}$  及  $R_w$  對 W M M A 二種版本而言係不同的。

在執行演繹法時，通常是藉由使用比較器或查詢表以計算取樣  $y_{n,w}$ 。或者，非線性函數  $f(\cdot)$  係用以決定部份取樣  $y_{n,w}$ 。函數  $f(\cdot)$  係定義如下：

$$f(y_n) = \frac{1}{2}[1 + sgn(y_n^2 - m_m^2)] \quad (102)$$

$$f(\tilde{y}_n) = \frac{1}{2}[1 + sgn(\tilde{y}_n^2 - m_m^2)]. \quad (103)$$

以致於：

$$f(y_n) = \begin{cases} 0 & \text{if } |y| \leq m_w \\ 1 & \text{其他} \end{cases} \quad f(\tilde{y}_n) = \begin{cases} 0 & \text{if } |\tilde{y}| \leq m_w \\ 1 & \text{其他} \end{cases} \quad (104)$$

(請先閱讀背面之注意事項再填寫本頁)

## 五、發明說明 (35)

其中對半星群 W M M A 而言， $m_w = m$ ，及對邊緣點 W M M A 而言為  $m_w = 2(m - 1)$ ，而對邊緣點 W M M A 為  $m_w = 2(m - 1)$  為  $m_w = 2(m - 1)$ 。使用非線性方程  $f(\cdot)$  會產生下述關係：

$$f(y_n) = y_{n,w}; \text{ 及 } f(\tilde{y}_n) = \tilde{y}_{n,w}. \quad (105)$$

成本函數 C F 可重寫如下：

$$CF = [f(y_n)(y_n^2 - R_w^2)^2 + f(\tilde{y}_n)(\tilde{y}_n^2 - R_w^2)^2]. \quad (106)$$

而對應的分接更新演繹法成爲：

$$\mathbf{c}_{n+1} = \mathbf{c}_n - \mu f(y_n)(y_n^2 - R_w^2)y_n \mathbf{r}_n, \text{ 及} \quad (107)$$

$$\mathbf{d}_{n+1} = \mathbf{d}_n - \mu f(\tilde{y}_n)(\tilde{y}_n^2 - R_w^2)\tilde{y}_n \mathbf{r}_n. \quad (108)$$

在同相位維的情形中，方程式 (100) 及 (107) 均可用以執行濾波器分接。

圖 16 及 26-28 係顯示根據電腦模擬之不同演繹法的收斂訊號星群之圖形。圖 16 係顯示以 M M A 收斂之後的訊號星群，而圖 26 係顯示以 L M S 收斂之後的訊號星群。這二個圖形一起顯示即使可以以盲演繹化取得初始收斂，但是需要 L M S 演繹法以取得最佳收斂。圖 27 係顯示半星群 W M M A 之收斂星群，而圖 28 係顯示邊緣點 W M M A 之收斂星群。從圖 27 及 28 可知使用半星群 W M M A 可改進收斂性能，並可使用邊緣點 W M M A 進一步改進收斂性能。事實上，圖 26 及 28 的比較，顯示使用邊緣點 W M M A 及 L M S 演繹法可取得幾乎相同的收斂性能。應注意，在本實施例中，邊緣點 W M M A 中所使用的步階尺寸約為用於其它演繹法之 5 倍大。用於 M M A 之

(請先閱讀背面之注意事項再填寫本頁)

## 五、發明說明 (36)

步階尺寸為  $\mu = 0.0001$ 。

建議窗口 MMA 的使用限於有限數目的符號位準之應用。對每一大星群而言，由於在濾波器適應期間缺乏足夠的等化器輸出取樣，所以難以取得良好性能。

圖 1 1 及 1 2 係顯示發明觀念之說明實施例。圖 1 1 係說明代表數位訊號處理器 400 之實施例，該訊號處理器 400 係根據發明原理程式化以實施 F S L E。數位訊號處理器 400 包括中央處理單元（處理器）405 及記憶體 410。記憶體 410 的一部份係用以儲存程式指令，這些程式指令由處理器 405 執行時，會執行窗口 MMA 型演繹法。此記憶體的一部份以 411 顯示。記憶體的另一部份 412 係用以儲存分接係數值，這些分接係數值係由處理器 405 根據發明觀念更新。假設所接收的訊號 404 被應用至處理器 405，處理器 405 會根據發明觀念使此訊號等化以提供輸出訊號 406。僅為舉例說明，假設輸出訊號 406 代表等化器的輸出取樣之序列。（如同此技藝中所習知，數位訊號處理器可以在導出輸出訊號 406 之前，額外地進一步處理所接收到的訊號 404）。由於在學習如此處所述之窗口型演繹法之後，軟體程式係在習於此技藝者的能力範圍之內，所以，此處並未說明此軟體程式。而且，應注意任何等化器結構，例如早先所述者，可由數位訊號處理器 400 根據發明觀念實施。

圖 1 2 係說明發明觀念之另一實施例。電路 500 包

(請先閱讀背面之注意事項再填寫本頁)

訂

線

## 五、發明說明 (37)

括中央處理單元（處理器）505、及等化器510。後者係如上所述說明性地假設為分相F S L E。假設等化器510包含至少一分接係數暫存器以儲存用於對應分接係數向量之值（例如，如圖3所示）。處理器505包含記憶體（未顯示），類似於用以實施窗口M M A型演繹法之圖11的記憶體410。代表等化器輸出取樣序列之等化器輸出訊號511會施加至處理器505。後者會根據發明觀念分析等化器輸出訊號511，以使分接係數的值適應以致於收斂至正確解。

前述僅說明發明之原理，因此對於習於此技藝者而言，將能設計出多種此處未明言之不同配置，但是，具體實施本發明之原理係在本發明之精神及範圍之內。

舉例而言，雖然此處將發明說明成以離散功能建立方塊執行，例如等化器等，但是，可使用一或更多適當的程式化處理器執行這些建立方塊的任一者或更多者之功能。

此外，雖然於F S L E的內文中說明發明觀念，但是，發明觀念可應用至其它形式的適應濾波器，例如決定回饋等化器（D F E），但不限於此。發明觀念可應用至所有形式的通訊系統，例如廣播網路、高解析度電視（H D T V）、如光纖至邊限之點對多點網路、訊號辨識、或分類、如配線分接之應用等等。

而且，雖然於修正的M M A演繹法之內文中說明發明觀念，但是發明觀念也可應用至其它形式的等化。

(請先閱讀背面之注意事項再填寫本頁)

訂

線

## 五、發明說明 (38)

### 圖式簡述

圖 1 係具體實現發明原則之通訊系統的一部份之說明方塊圖；

圖 2 係用於等化器中的適應濾波器之說明方塊圖；

圖 3 係用於等化器中的適應性濾波器的一部份之說明方塊圖；

圖 4 係互耦合等化器之說明方塊圖；

圖 5 係四濾波器等化器之說明方塊圖；

圖 6 係收斂前之等化器的輸出訊號之訊號點說明圖；

圖 7 係用於使用 M M A 盲等化法之系統的等化器之輸出訊號的訊號點說明圖；

圖 8 係訊號點說明圖，說明 R C A 盲等化法之減少訊號點星群；

圖 9 係訊號點說明圖，說明 C M A 盲等化法之圓形輪廓；

圖 10 係訊號點說明圖，說明 M M A 盲等化法分段線性輪廓；

圖 11 及 12 係具體實現發明原理之接收器的一部份之說明方塊圖；

圖 13、14、及 15 係訊號點說明圖，說明用於非方形星群之 M M A 盲等化法的分段線性輪廓；

圖 16 及 17 係用於使用二步式 M M A 盲等化法之通訊系統的等化器之輸出訊號的訊號點說明圖；

(請先閱讀背面之注意事項再填寫本頁)

訂  
線

修正  
稿本  
104.21

A7

B7

## 五、發明說明 (9)

圖 1 8 係顯示無 C H C F 之 R C A 、 C M A 及 M M A 盲等化法之間的比較表；

圖 1 9 係顯示用於 R C A 、 C M A 及 M M A 盲等化法中的資料值之說明表；

圖 2 0 係 6 4 - C A P 訊號點星群之錯誤對角解之說明圖；

圖 2 1 係顯示使用窗口法之訊號點星群的分割；

圖 2 2 係顯示使用半星群窗口法之訊號點星群分割；

圖 2 3 係顯示用於半星群 W M M A 方法中的資料值說明表；

圖 2 4 係顯示用以比較成本函數之資料值說明表；

圖 2 5 係顯示使用邊緣點星群窗口法之訊號點星群分割；

圖 2 6 係使用 L M S 演繹法之等化器的輸出訊號之訊號點說明圖；及

圖 2 7 - 2 8 係分別使用半星群 W M M A 演繹法及邊緣點 W M M A 演繹法之等化器的輸出訊號之訊號點說明圖。

(請先閱讀背面之注意事項再填寫本頁)

裝

訂

系

(請先閱讀背面之注意事項再填寫本頁)

## 六、申請專利範圍

1. 一種在接收器中執行等化之改進方法，包括：  
    使用來自等化器的輸出取樣子集合以收斂等化器。
2. 如申請專利範圍第1項之方法，其中該使用步驟包含下列步驟：  
    將訊號點空間分割成排除及取樣窗口區；及  
    使用落在取樣窗口內的來自等化器之輸出取樣子集合以收斂等化器。
3. 如申請專利範圍第2項之方法，其中分割步驟包含下述步驟，選擇排除區及取樣窗口區以致於延著訊號點空間之一維上的取樣窗口區內的符號數目等於該維中的符號數目之一半。
4. 如申請專利範圍第2項之方法，其中分割步驟包含下述步驟，選擇排除區及取樣窗口區以致於取樣窗口區僅包含訊號點空間之最外部符號。
5. 如申請專利範圍第1項之方法，其中使用步驟包含下述步驟：  
    根據在輸出取樣子集合上作用之多模數為基礎的盲等化技術，使等化器的分接係數組適應。
6. 如申請專利範圍第1項之方法，其中使用步驟包含下述步驟：  
    根據在輸出取樣子集合上作用之減化星群為基礎的盲等化技術，使等化器的分接係數組適應。
7. 如申請專利範圍第1項之方法，其中使用步驟包含下述步驟：

## 六、申請專利範圍

根據在輸出取樣子集合上作用之固定模數為基礎的盲等化技術，使等化器的分接係數組適應。

8. 一種在接收器執行盲等化之裝置，包括：

記憶體，用以儲存收斂演繹法及儲存分接係數值組；及

處理器，a) 用以過濾輸入訊號以作為儲存的分接係數值組之函數以提供眾多輸出取樣，及b) 用以執行收斂演繹法以使儲存的分接係數值組適應作為眾多輸出取樣子集合的函數。

9. 如申請專利範圍第8項之裝置，其中眾多輸出取樣具有位於訊號點空間內的相關座標值且輸出取樣的子集合係那些具有位於訊號點空間之排除區之外的座標值之輸出取樣。

10. 如申請專利範圍第8項之裝置，其中收斂演繹法係多模數為基礎的演繹法。

11. 如申請專利範圍第8項之裝置，其中收斂演繹法係減化星群為基礎之演繹法。

12. 如申請專利範圍第8項之裝置，其中收斂演繹法係固定模數為基礎之演繹法。

13. 如申請專利範圍第9項之裝置，其中排除區係為排除區內延著訊號點空間的一維之符號數目等於該維中的符號數目之一半。

14. 如申請專利範圍第9項之裝置，其中排除區未包含訊號點空間之最外部符號。

(請先閱讀背面之注意事項再填寫本頁)

## 六、申請專利範圍

15. 如申請專利範圍第8項之裝置，其中處理器會使分接係數組適應作為盲等化演繹法形式的函數。

(請先閱讀背面之注意事項再填寫本頁)

訂  
線

861.15068

1/14

826848

圖 1

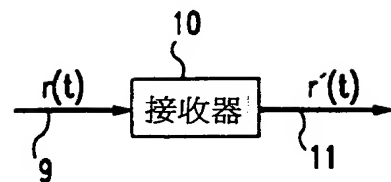
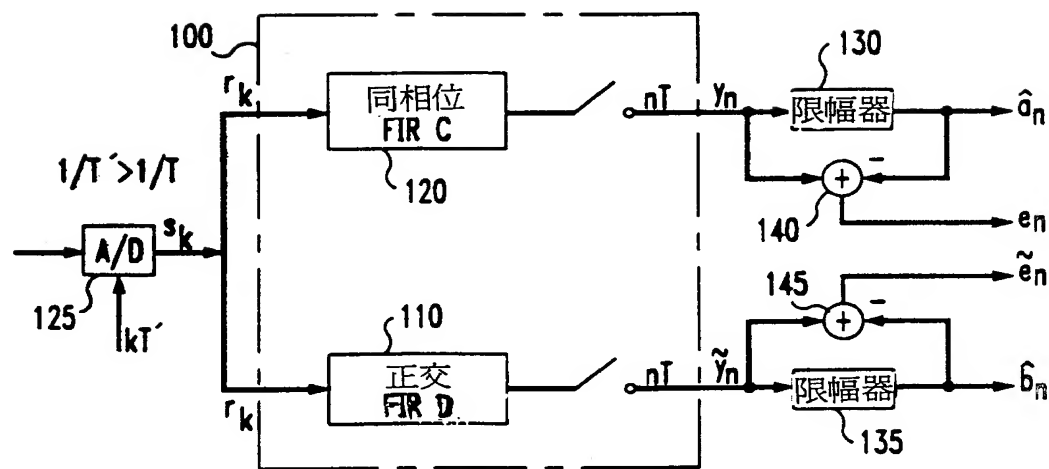


圖 2

習知技藝



分相 FSLE

圖 3

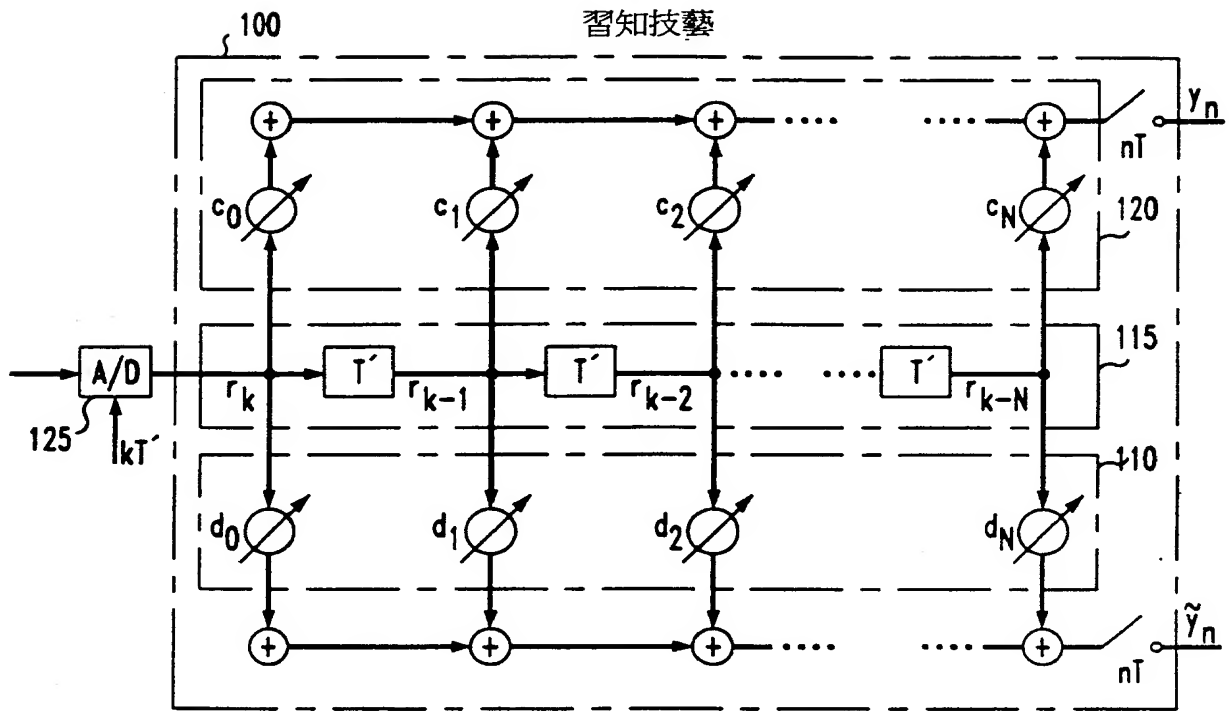
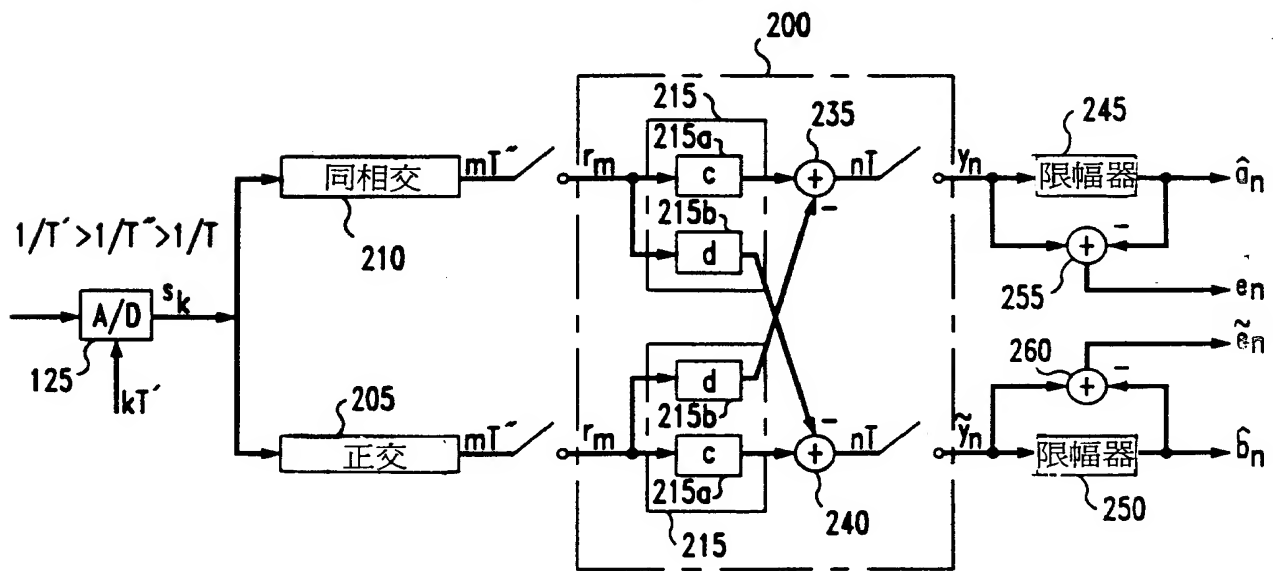


圖 4

習知技藝



3/14

圖 5

習知技藝

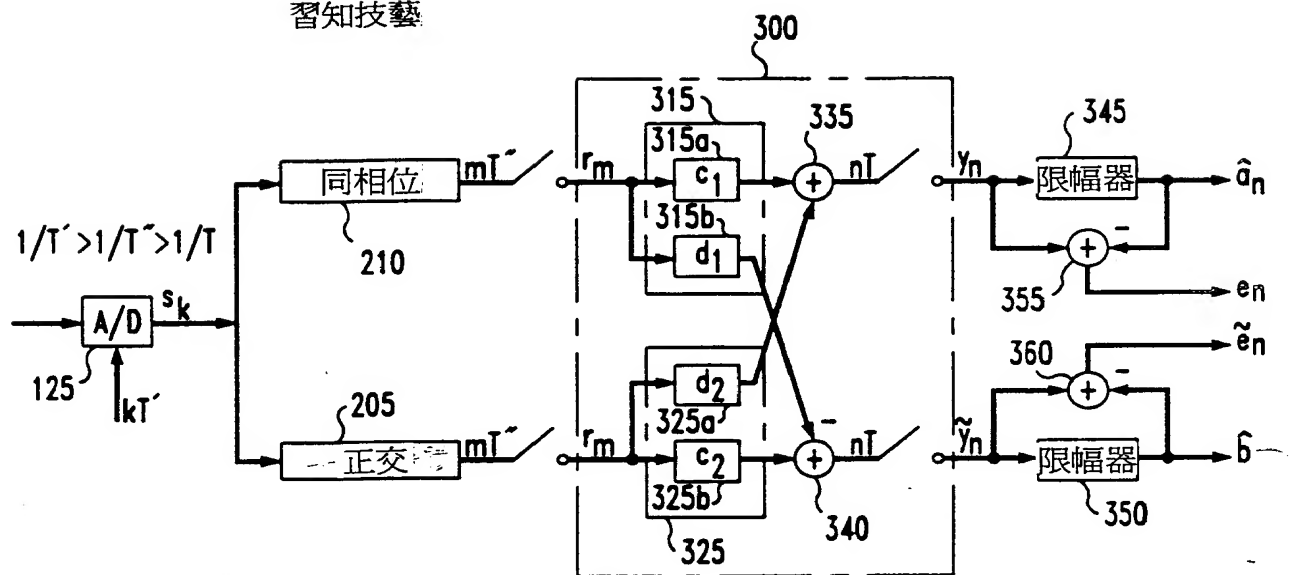
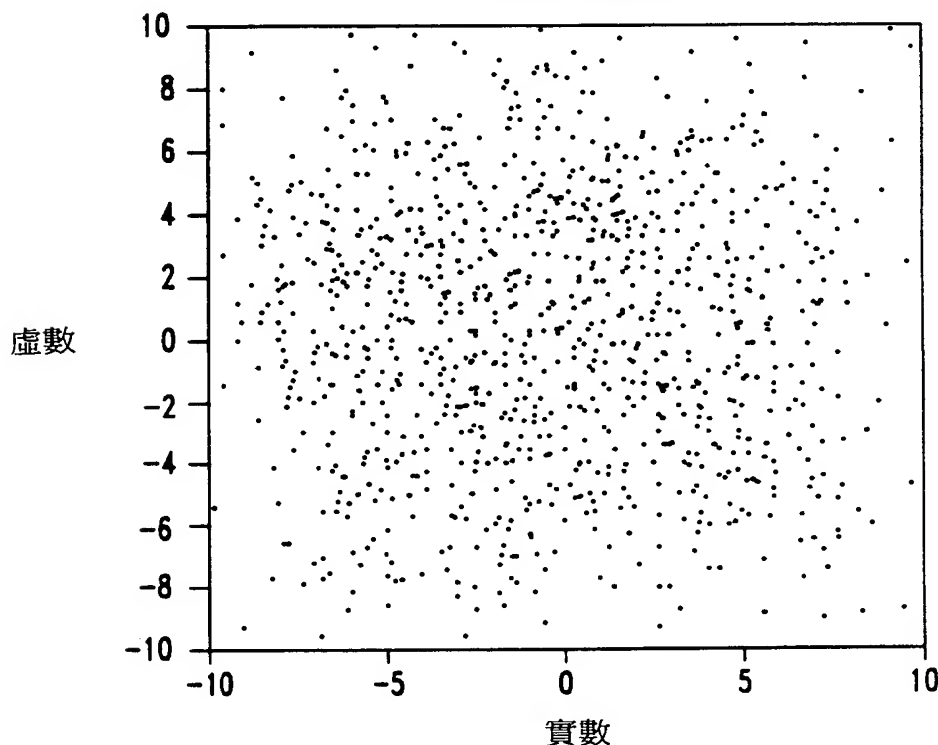


圖 6

習知技藝

不均等訊號星群



4/14

圖 7

MMA 開始

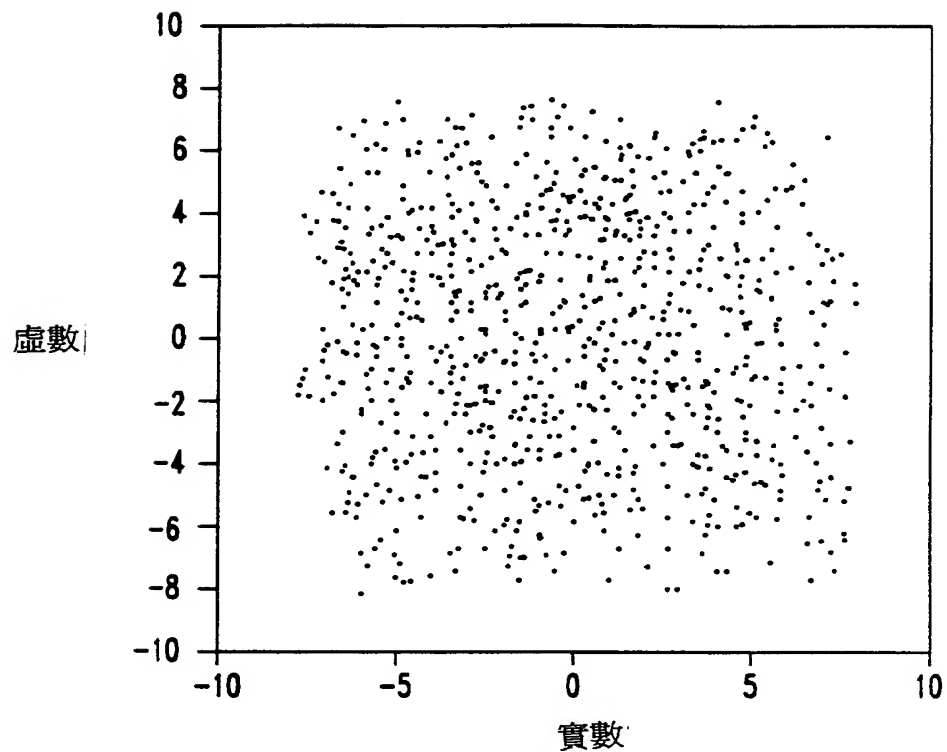


圖 8

習知技藝

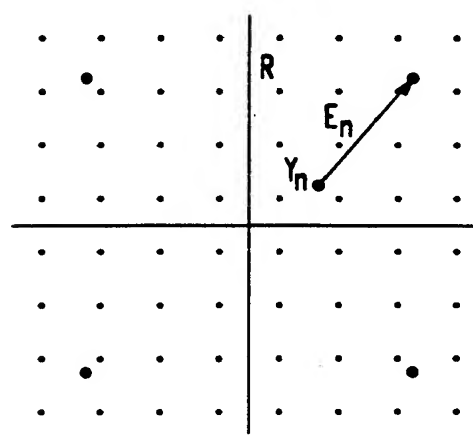


圖 9

習知技藝

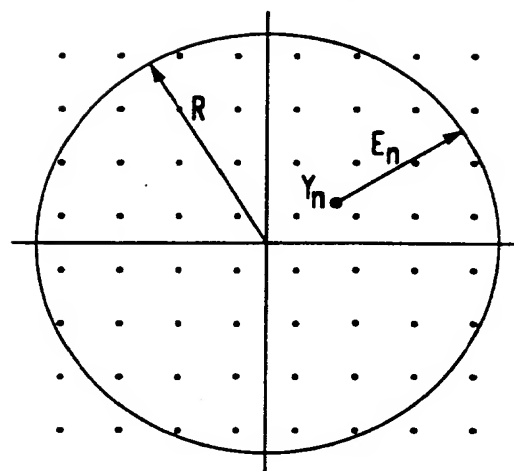


圖 10

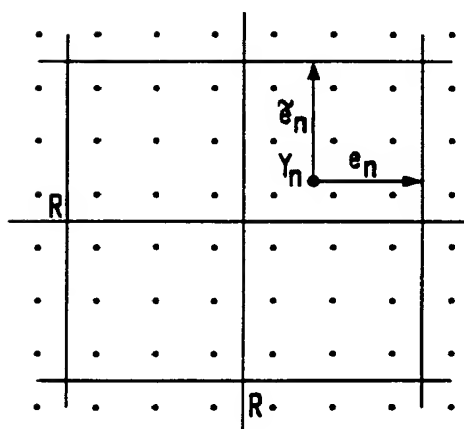


圖 11

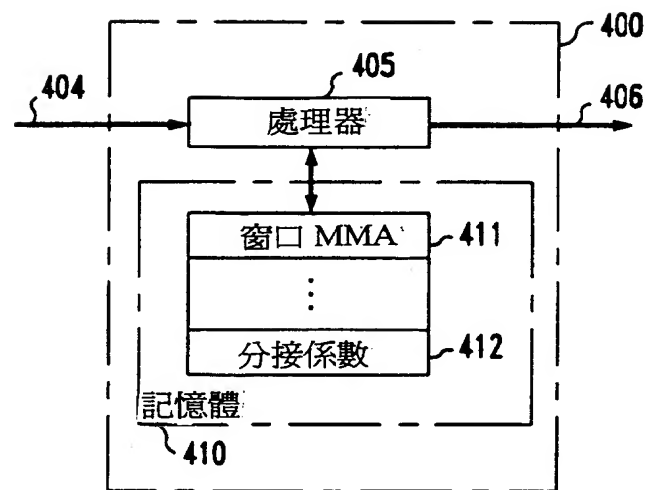
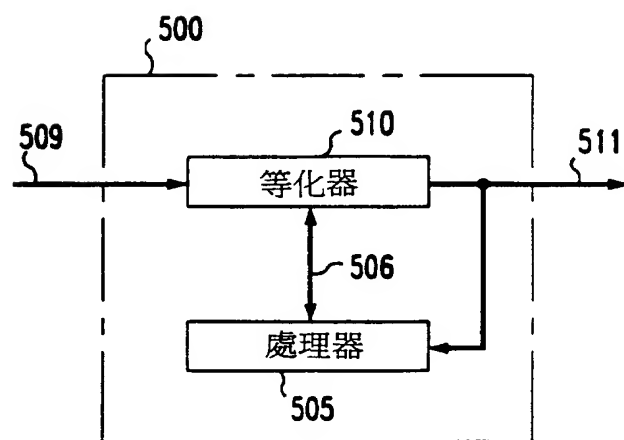


圖 12



7/14

圖 13

同相位維模數

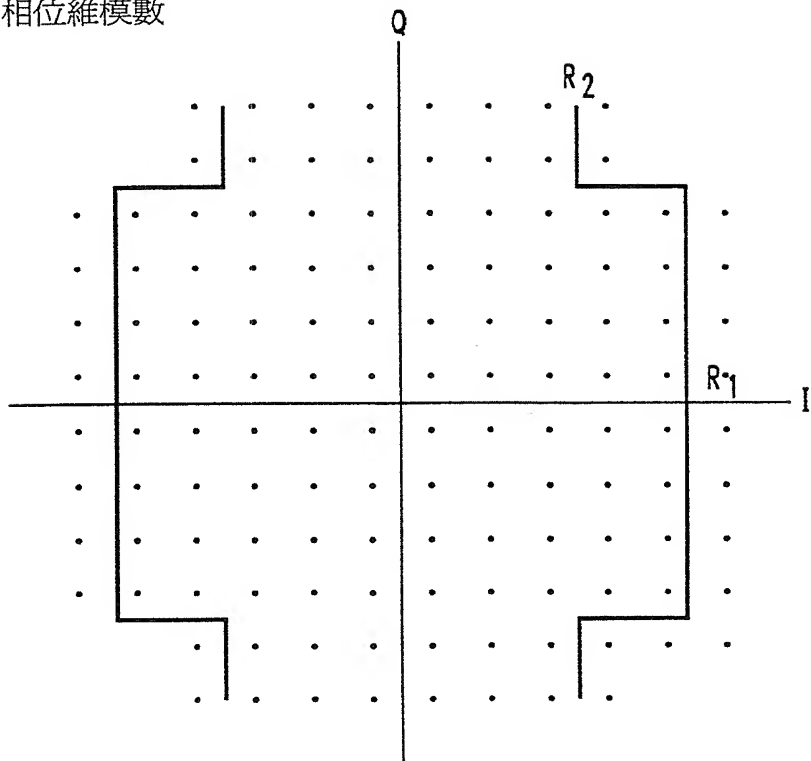
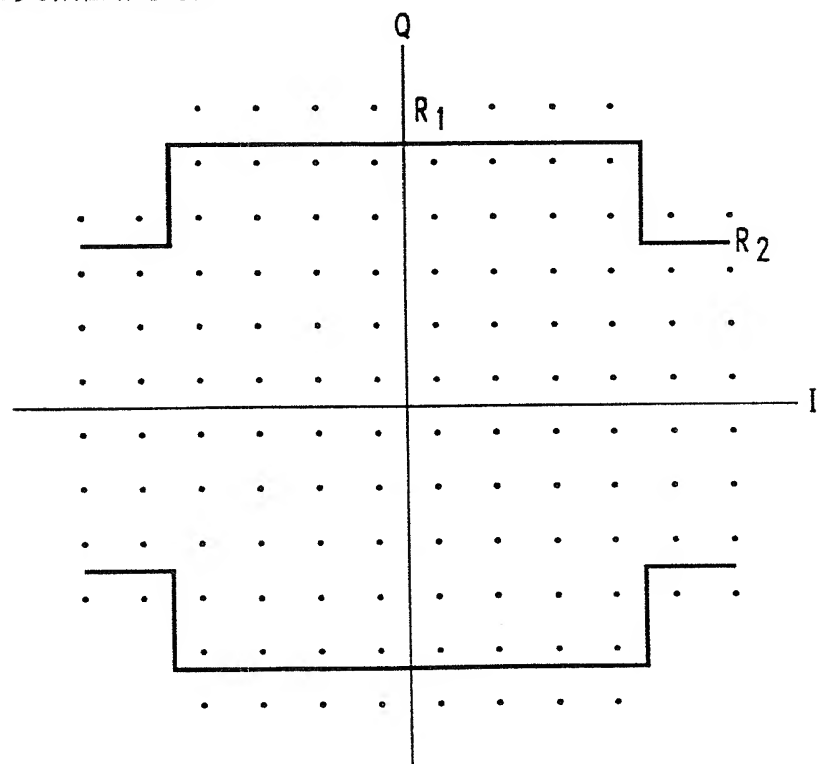


圖 14

正交相位維模數



8/14

圖 15

二維模數

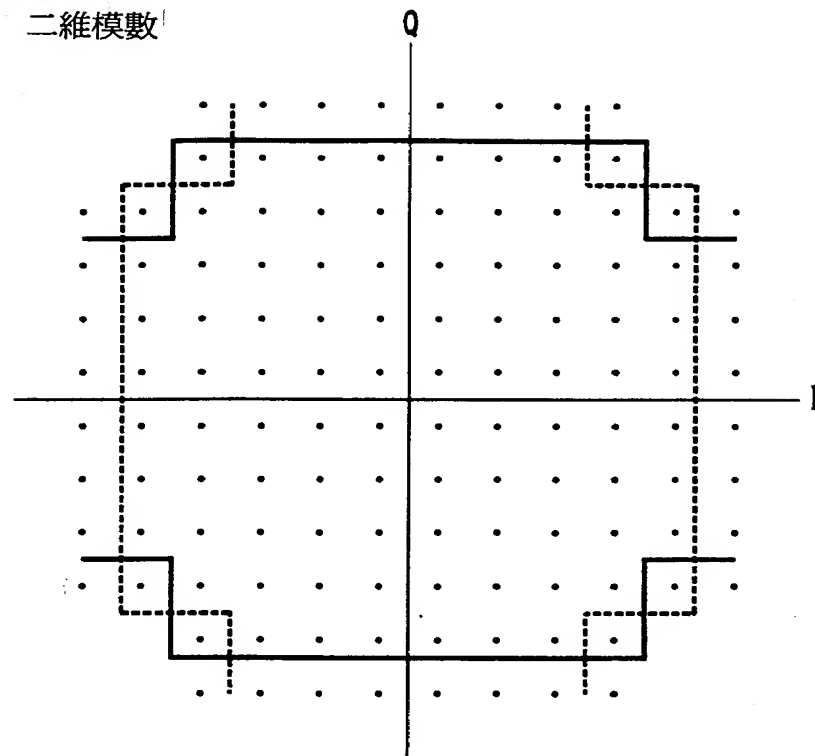
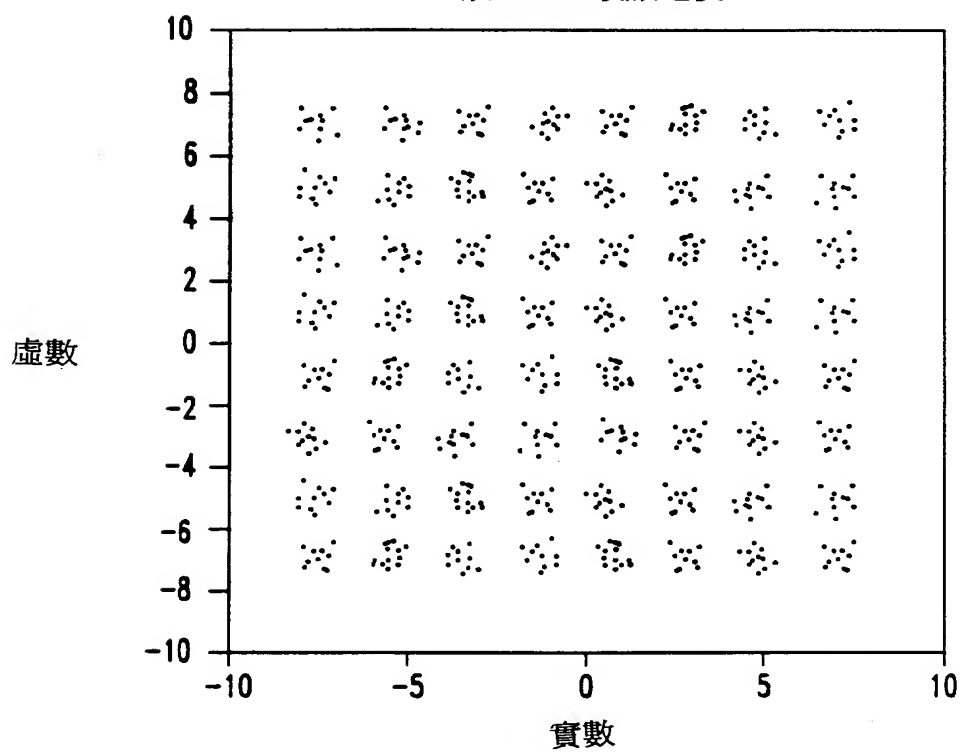


圖 16

以 MMA 收斂之後



9/14

圖 17

在以 64 點限幅器收斂之後

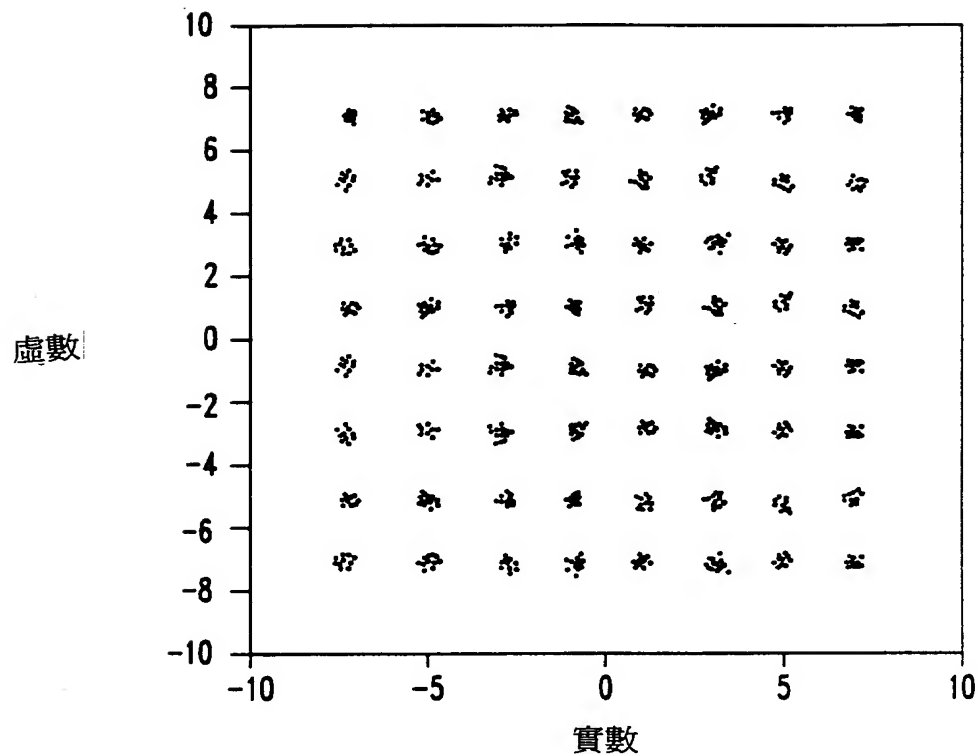


圖 18

盲等化演繹法之主要特性			
演繹法	可靠度	複雜度	收斂速度
RCA	低	低	第二快
MMA	高	中等	最快
CMA	非常高	高	最慢

802813

10/14

## 圖 19

對符號 $\pm 1, \pm 3, \pm 5, \pm 7$ 之常數 R, R1 及 R2 的值							
演繹法	4-CAP	16-CAP	32-CAP	64-CAP	128-CAP	256-CAP	512-CAP
RCA	1	2.50	3.64	5.25	7.45	10.625	15.00
MMA	1	2.86	4.32	6.08	8.88	12.34	17.87
CMA	1.414	3.633	5.11	7.616	10.49	15.39	21.11
MMA R <sub>1</sub>	--	--	4.49	--	9.22	--	18.55
MMA R <sub>2</sub>	--	--	2.86	--	6.08	--	12.34

302813

11/14

圖 20

對 64-CAP 之對解線解

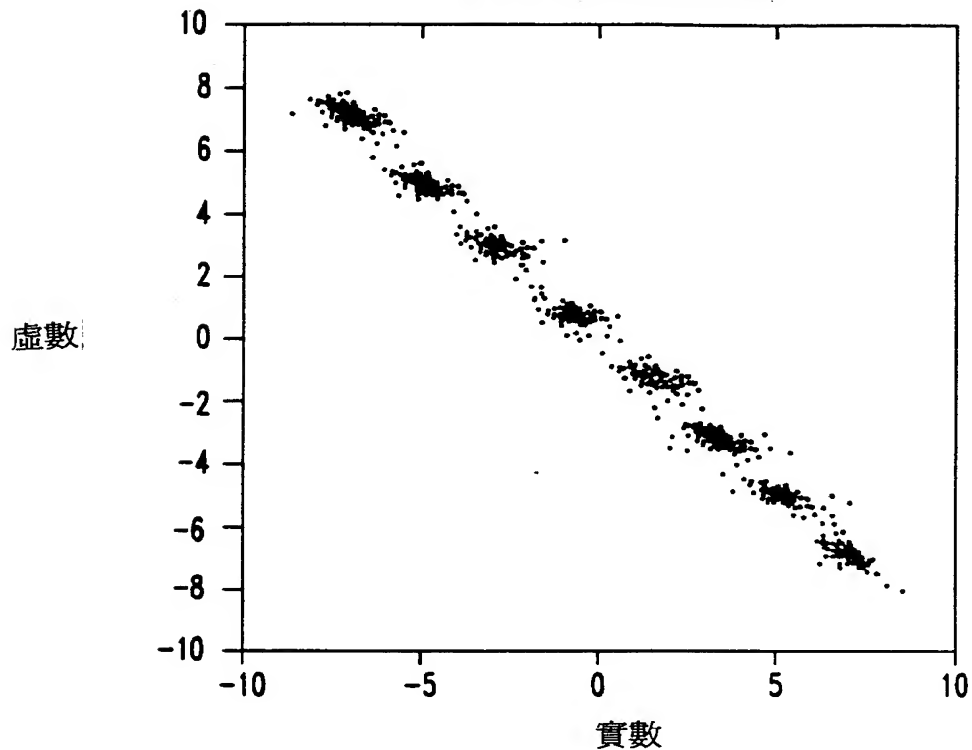
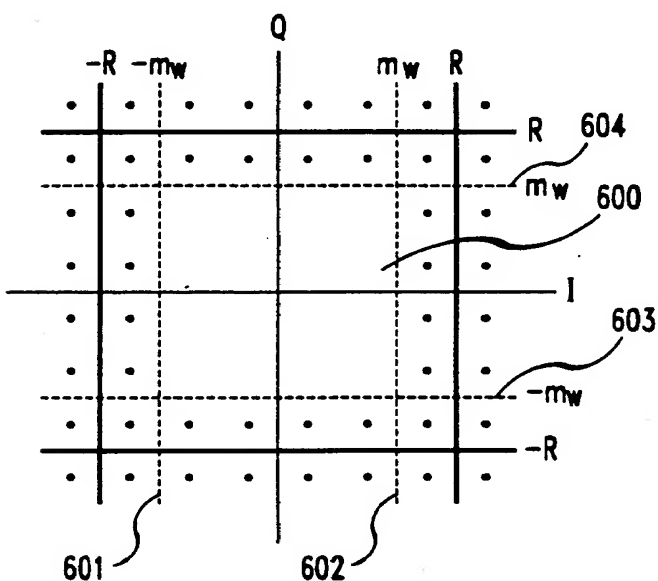


圖 21



3523

12/14

圖 22

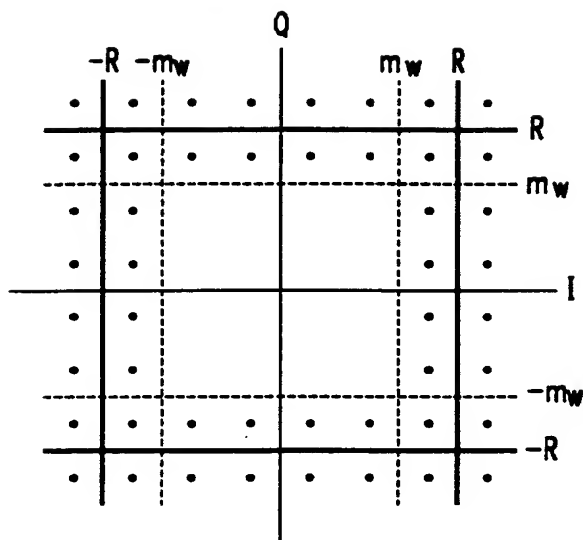


圖 23

常數/CAP	16-CAP	64-CAP	256-CAP	1024-CAP
$m$	2	4	8	16
$R$	2.86	6.08	12.34	24.76
$m_w$	1	2	4	8
$R_w$	3	6.4	12.97	26.05

圖 24

成本函數/CAP	16-CAP	64-CAP	256-CAP	1024-CAP
$m$	2	4	8	16
$CF_{mma}$ (dB)	14.2	27.7	40	52
$CF_{wmma}$ (dB)	0	22	35	47
$\Delta CF$	14.2	5.7	5	5

369313

13/14

圖 25

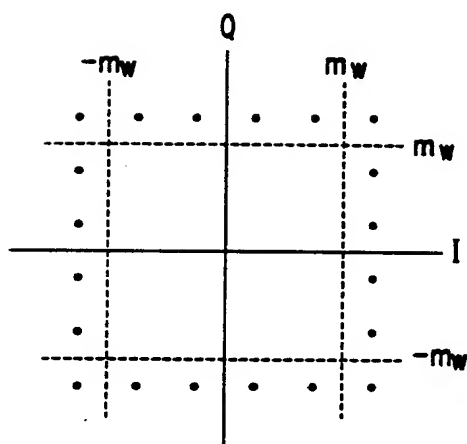
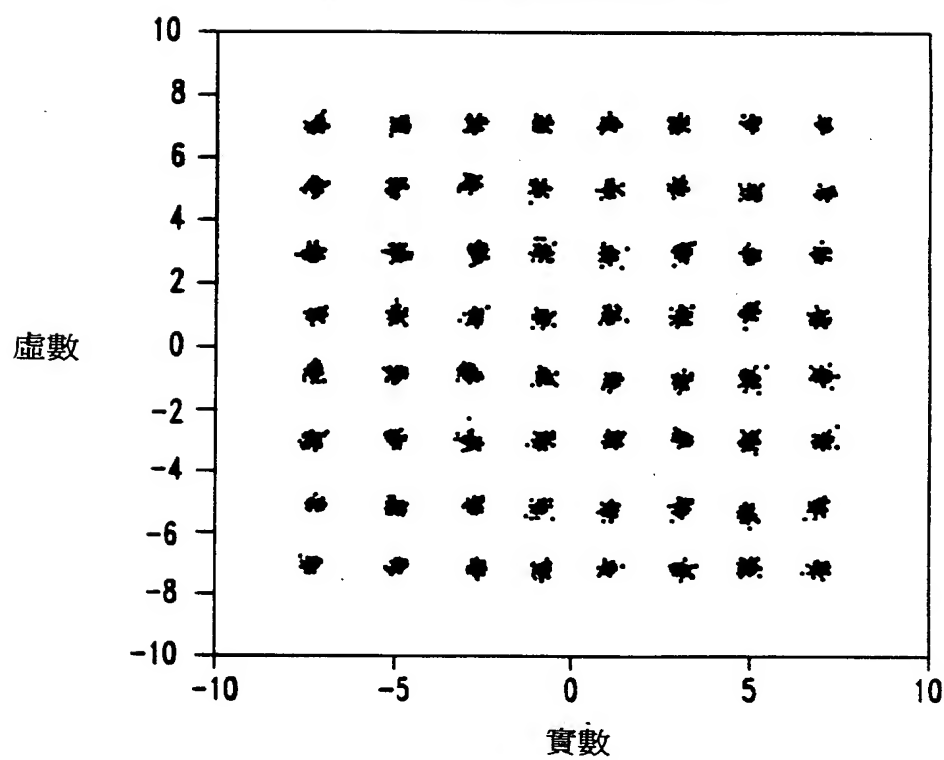


圖 26  
以 LMS 演繹法收斂之後



332313

14/14

圖 27

以半星群 WMMA 收斂之後

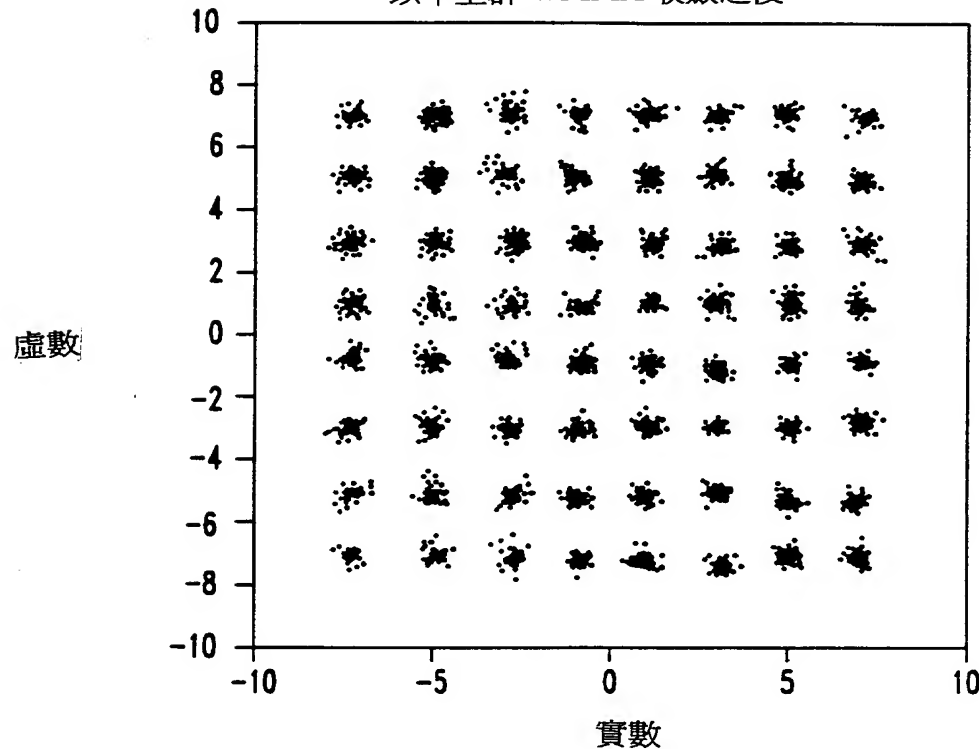


圖 28

以邊緣點 WMMA 收斂之後

